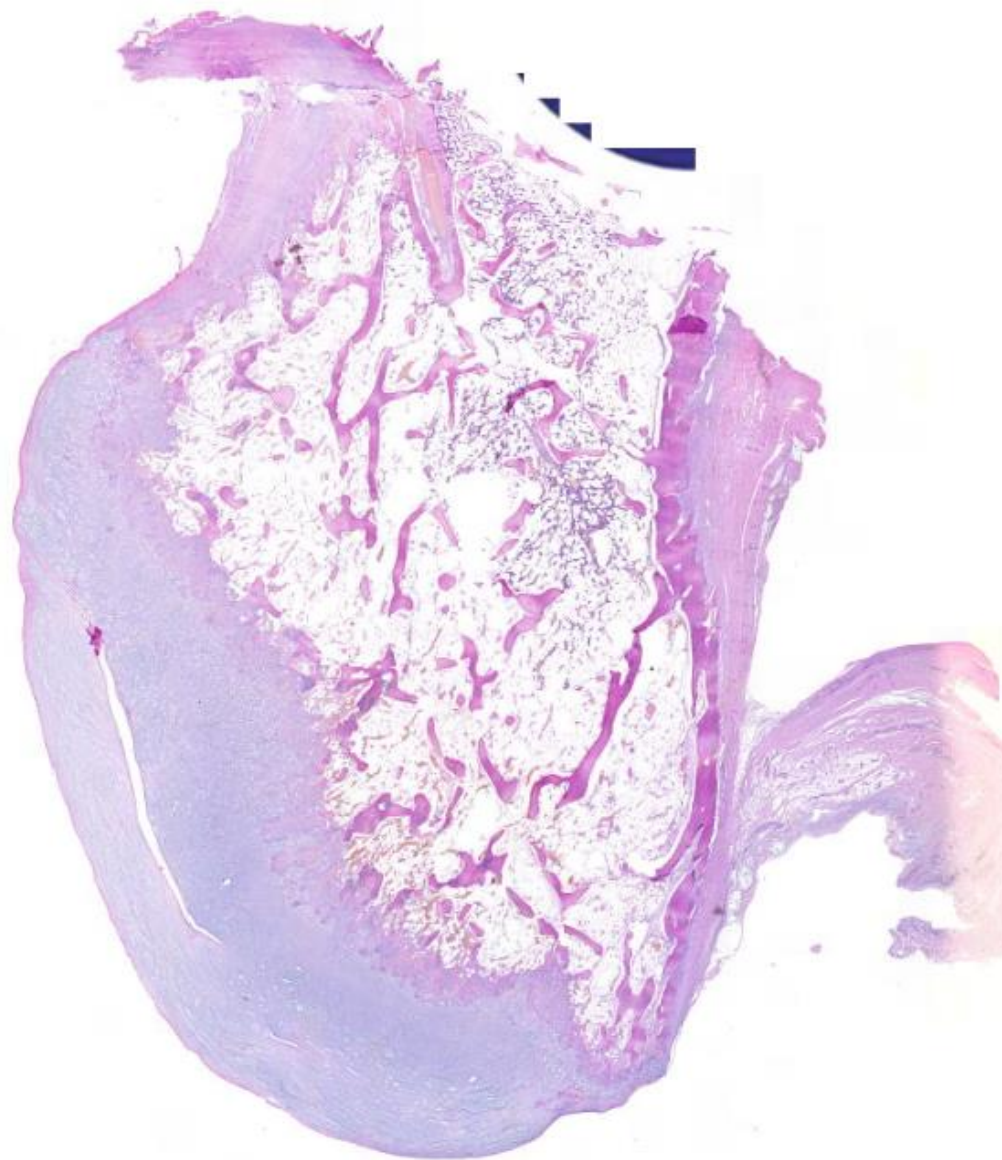
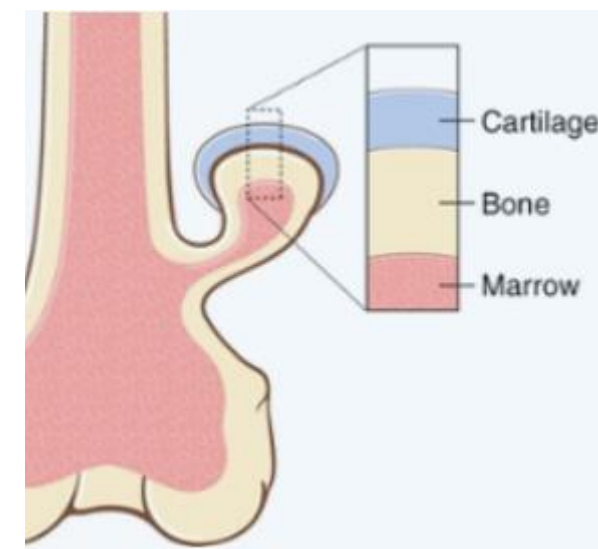


5000 μ m



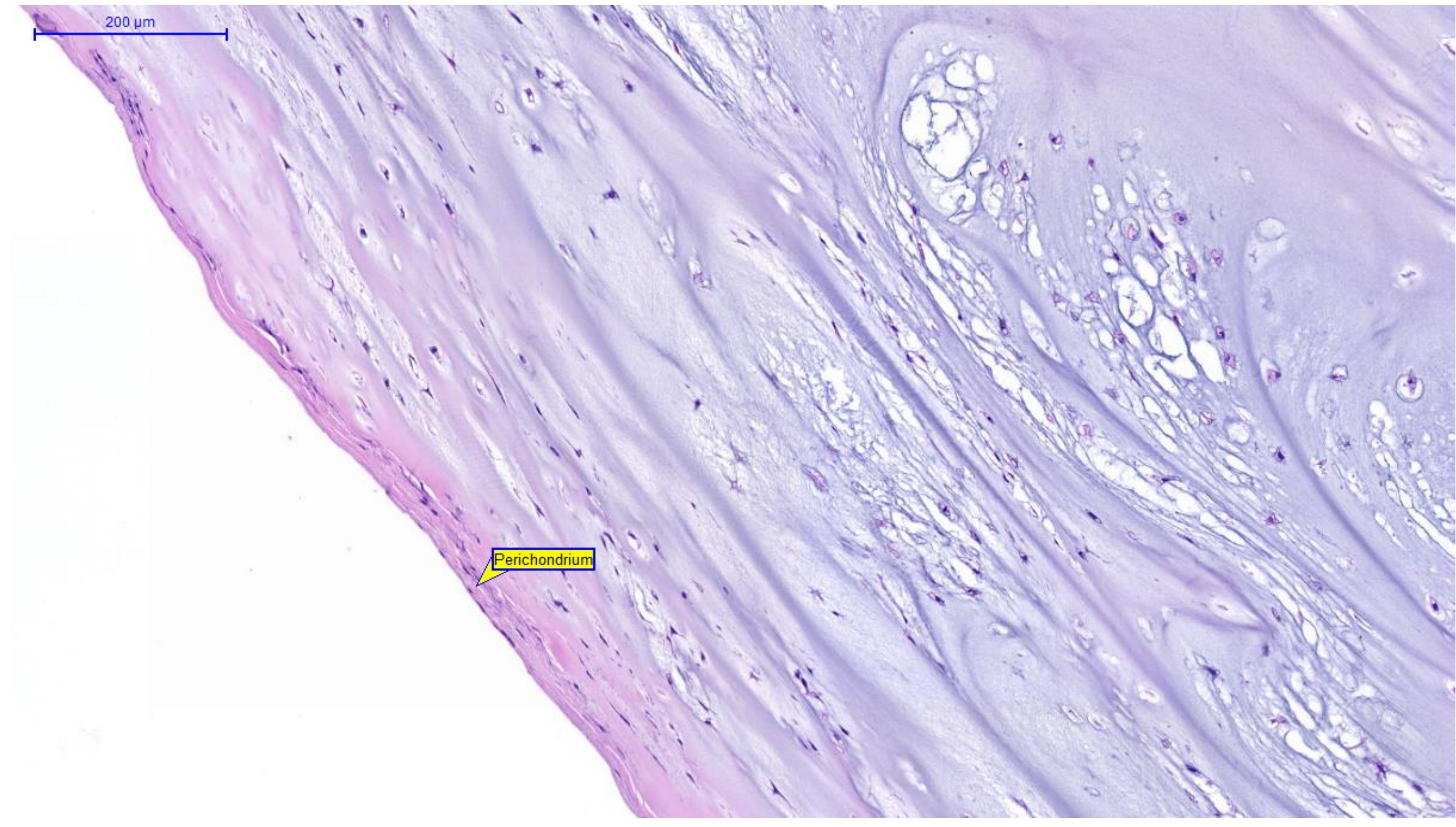
Osteochondroma-Bone

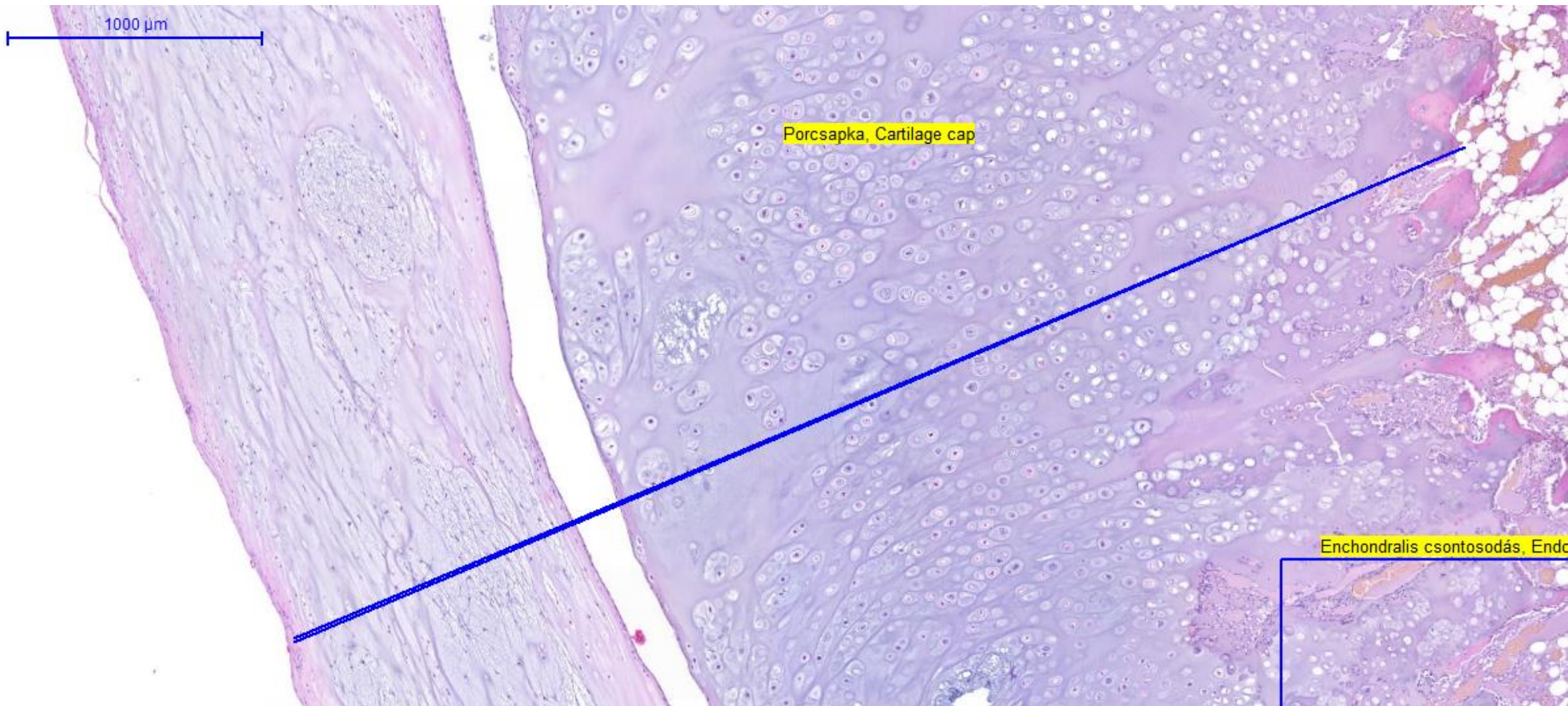


Robbins Basic Pathology

200 μ m

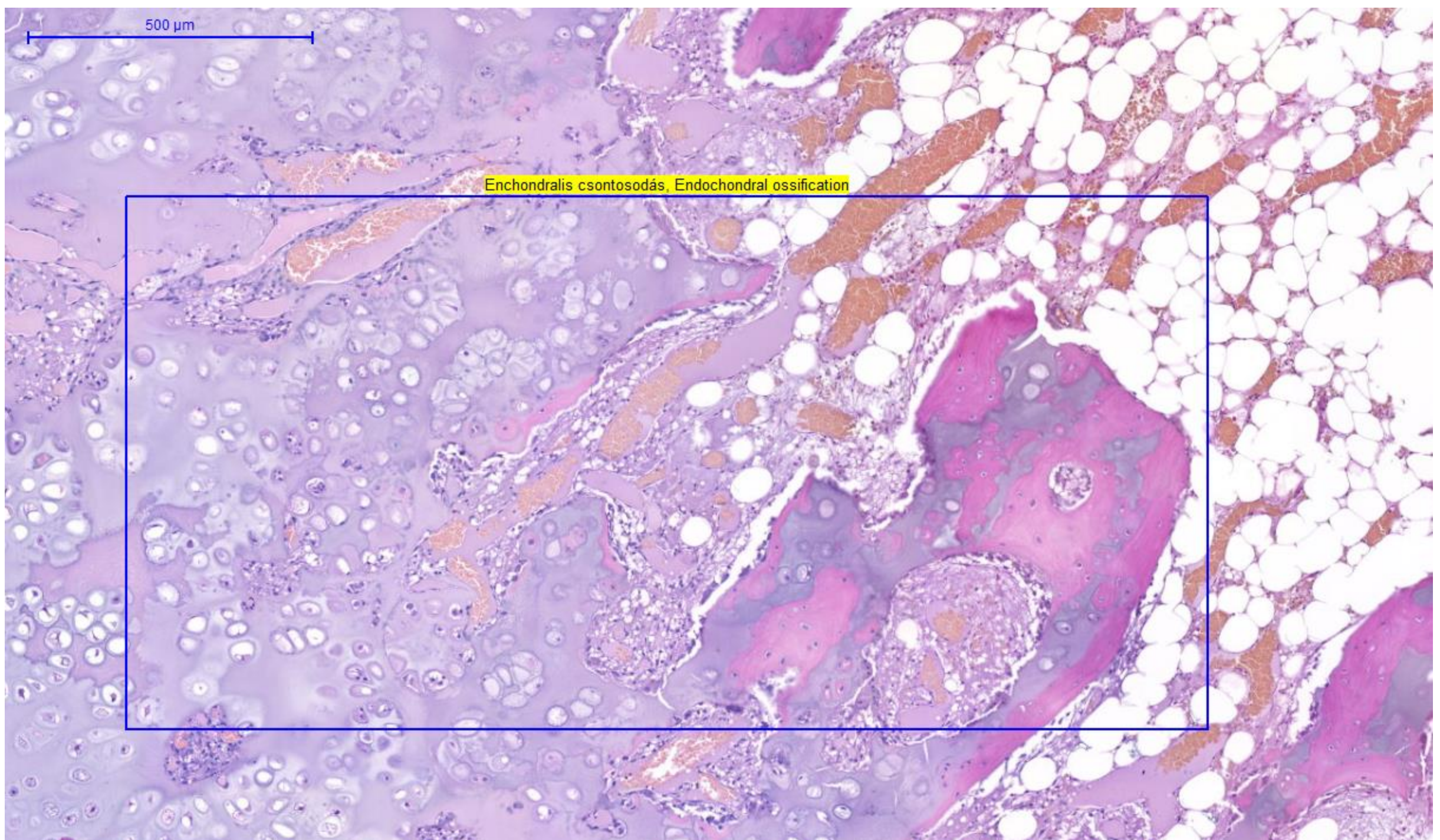
Perichondrium





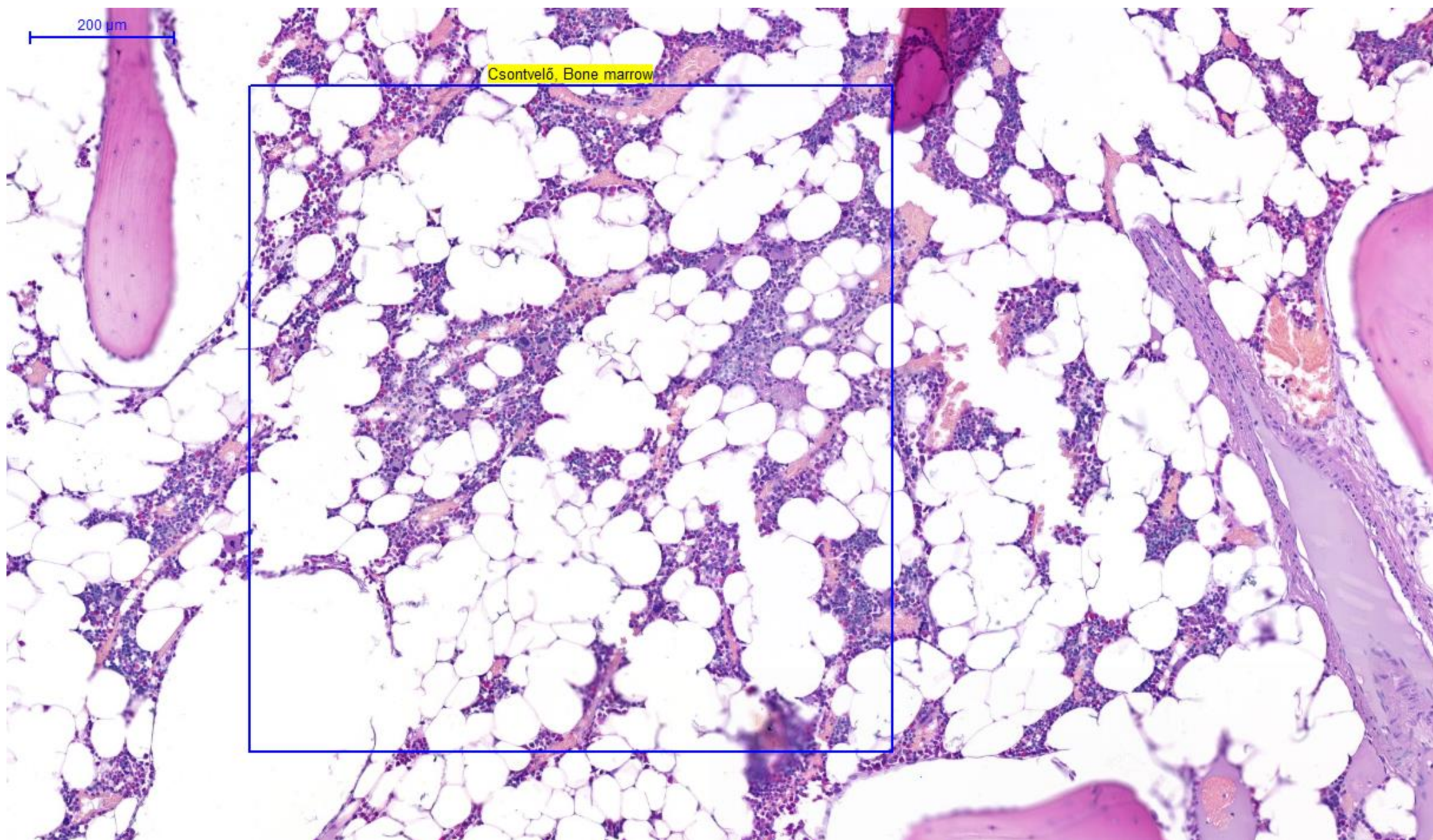
500 μ m

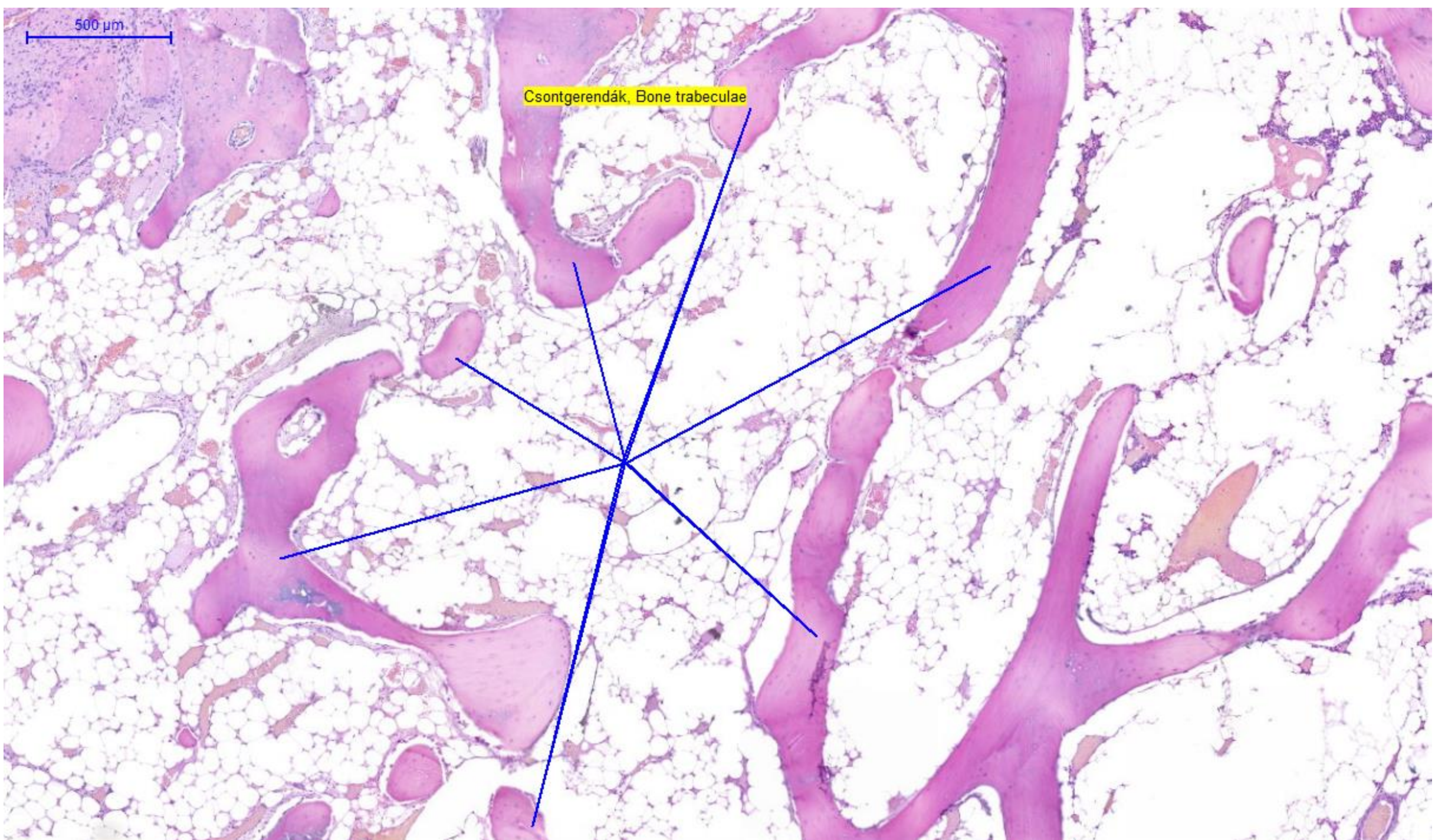
Enchondralis csontosodás, Endochondral ossification



200 μ m

Csontvelő, Bone marrow





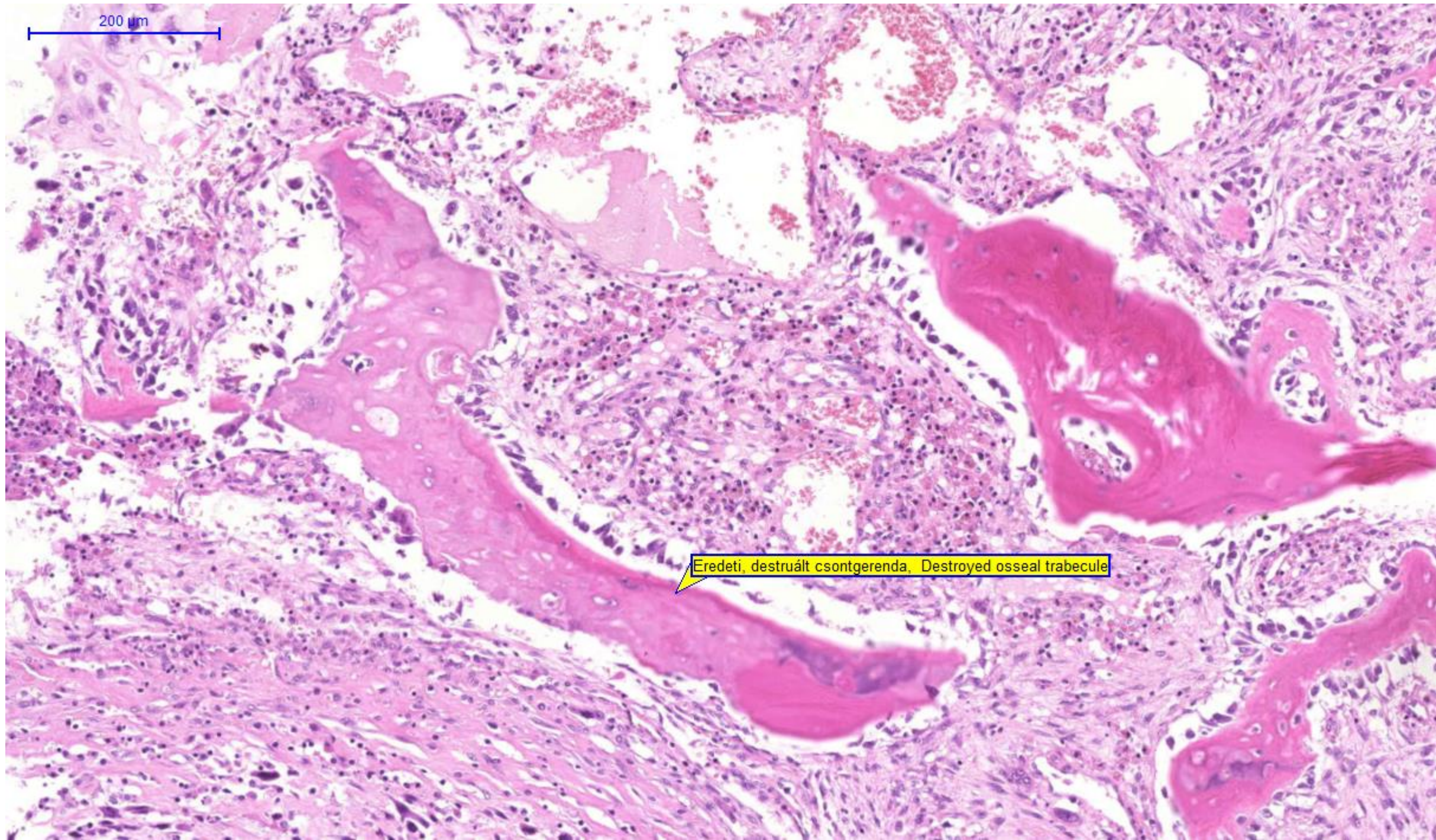
500 μm

Csontgerendák, Bone trabeculae



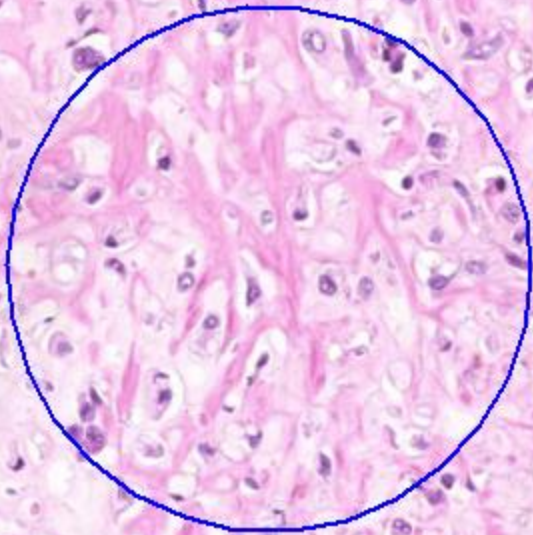
200 μ m

Eredeti, destruált csontgerenda. Destroyed osseal trabecule



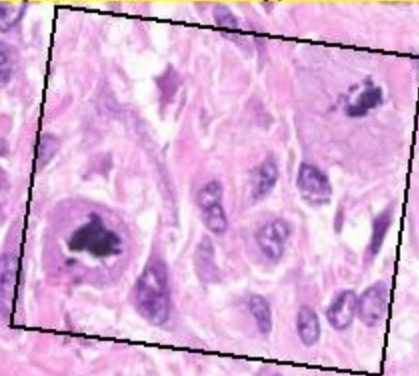
200 μ m

Tumorous osteoid, Osteoid production by tumor cells



100 μ m

Atypusos tumorsejtek osztódással, Atypical tumor cells with mitoses



5000 μ m

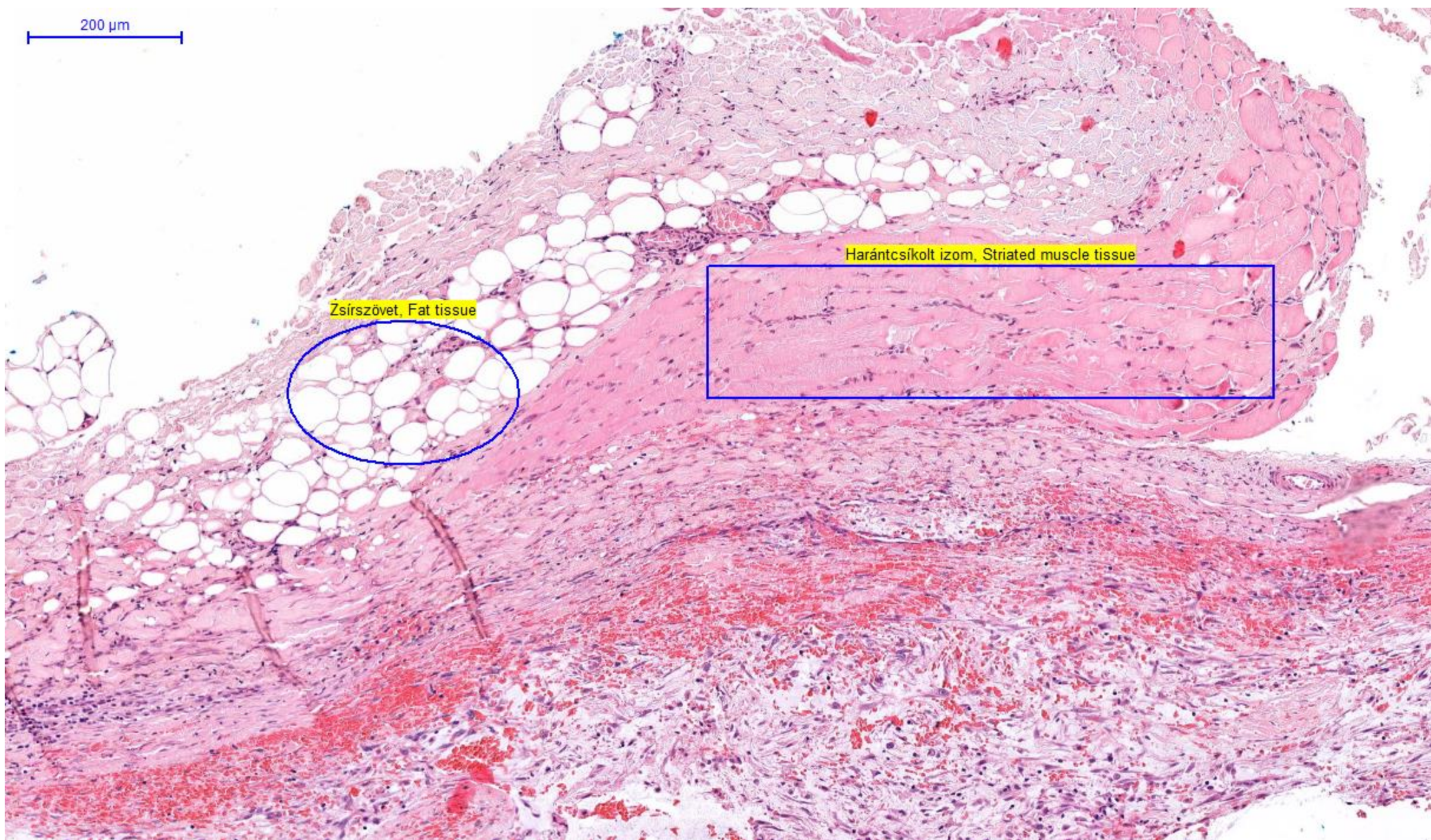
Fasciitis nodularis-Subcutaneous tissue

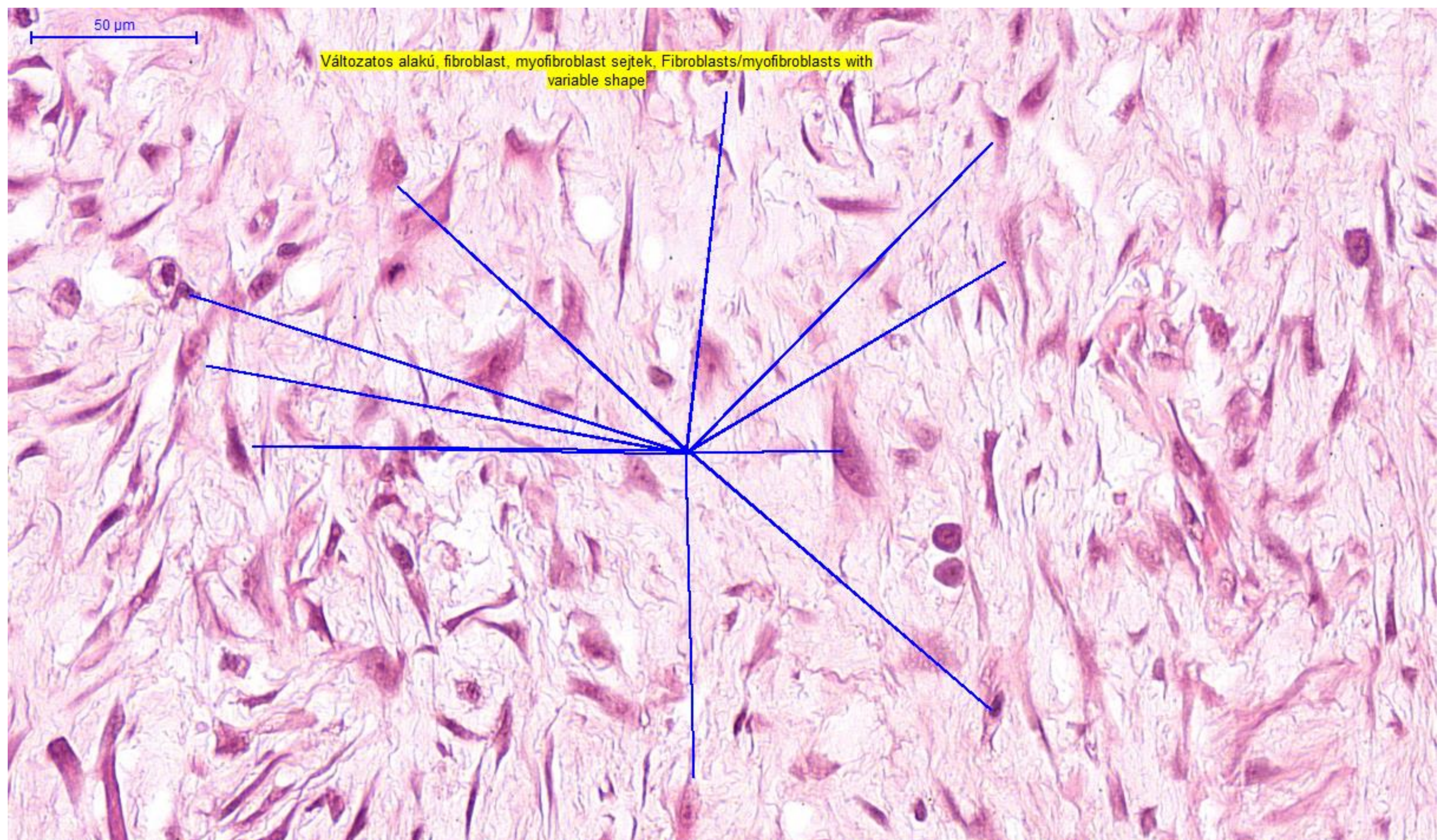


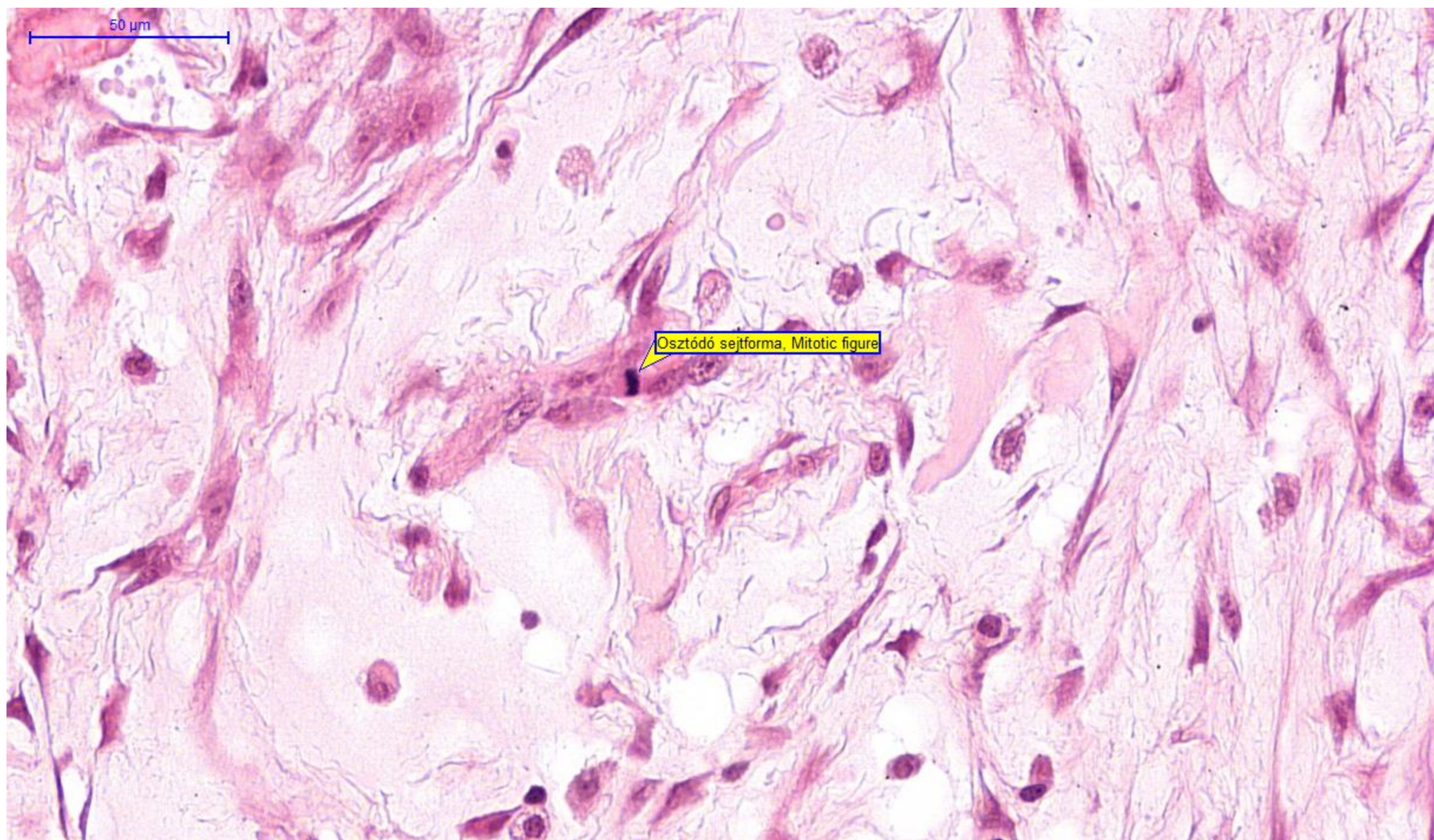
200 μ m

Zsír szövet, Fat tissue

Harántcsíkolt izom, Striated muscle tissue

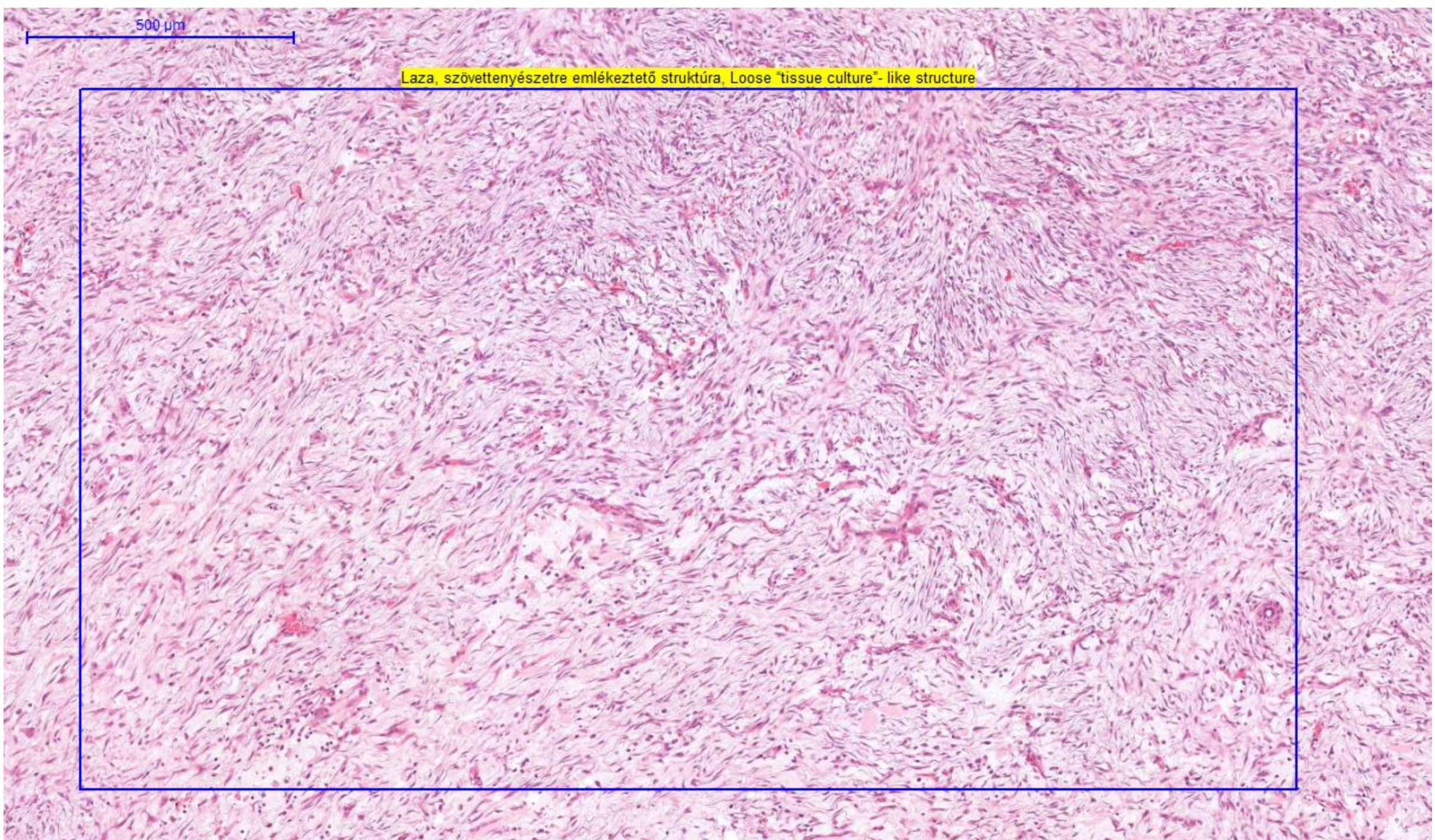






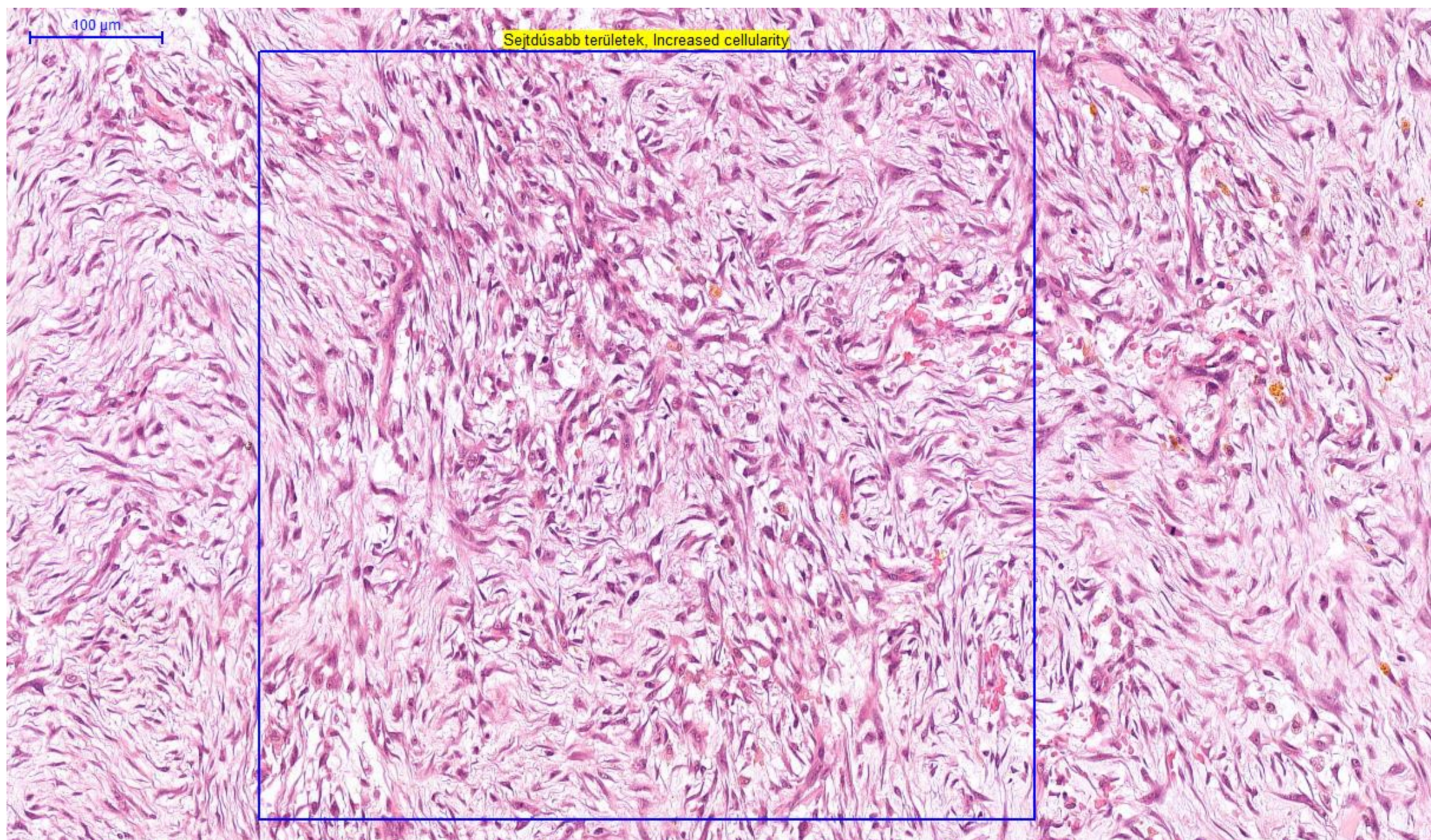
500 μ m

Laza, szövettenyésztetre emlékeztető struktúra, Loose "tissue culture"-like structure



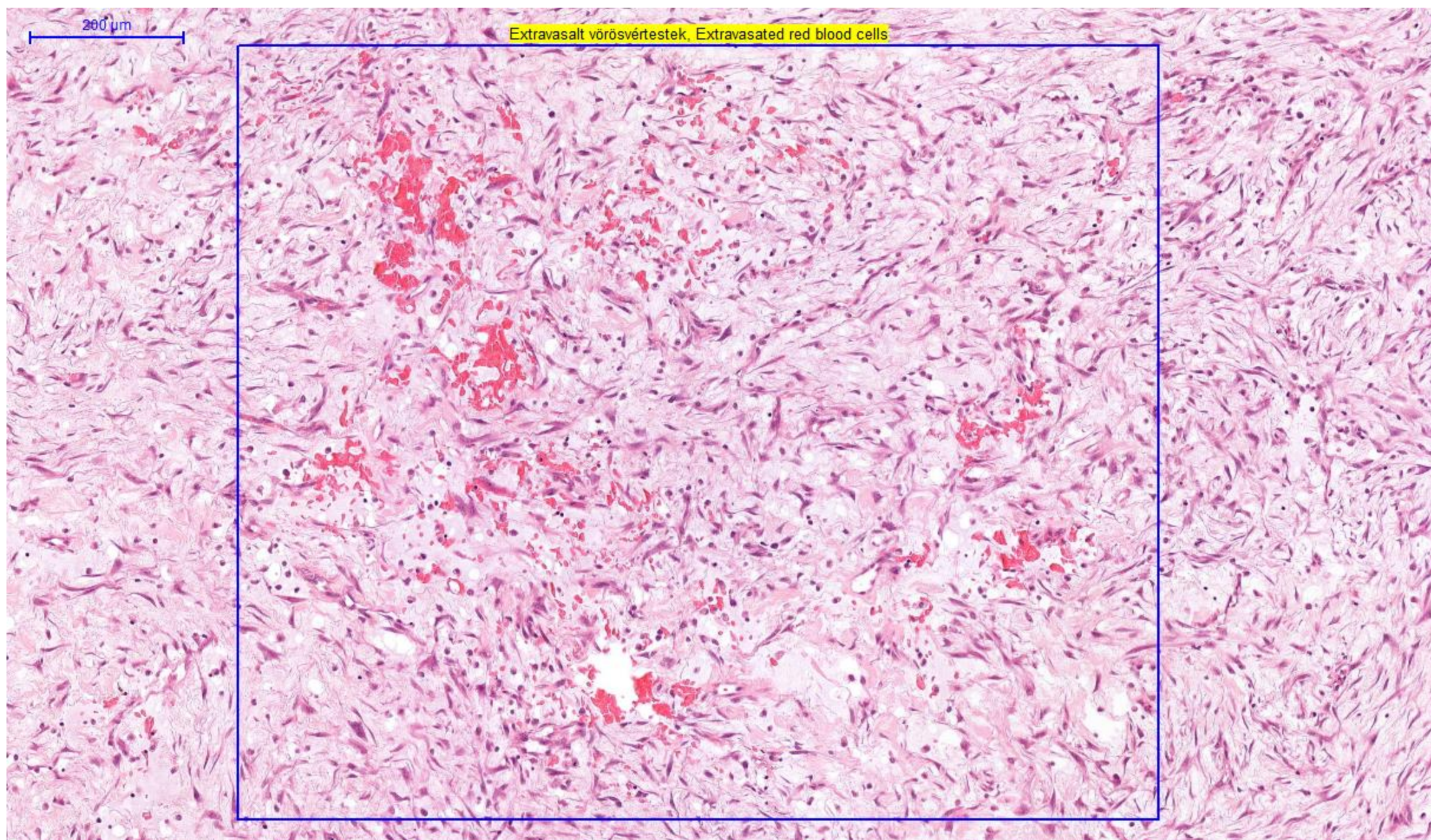
100 μ m

Sejtdúsabb területek, Increased cellularity

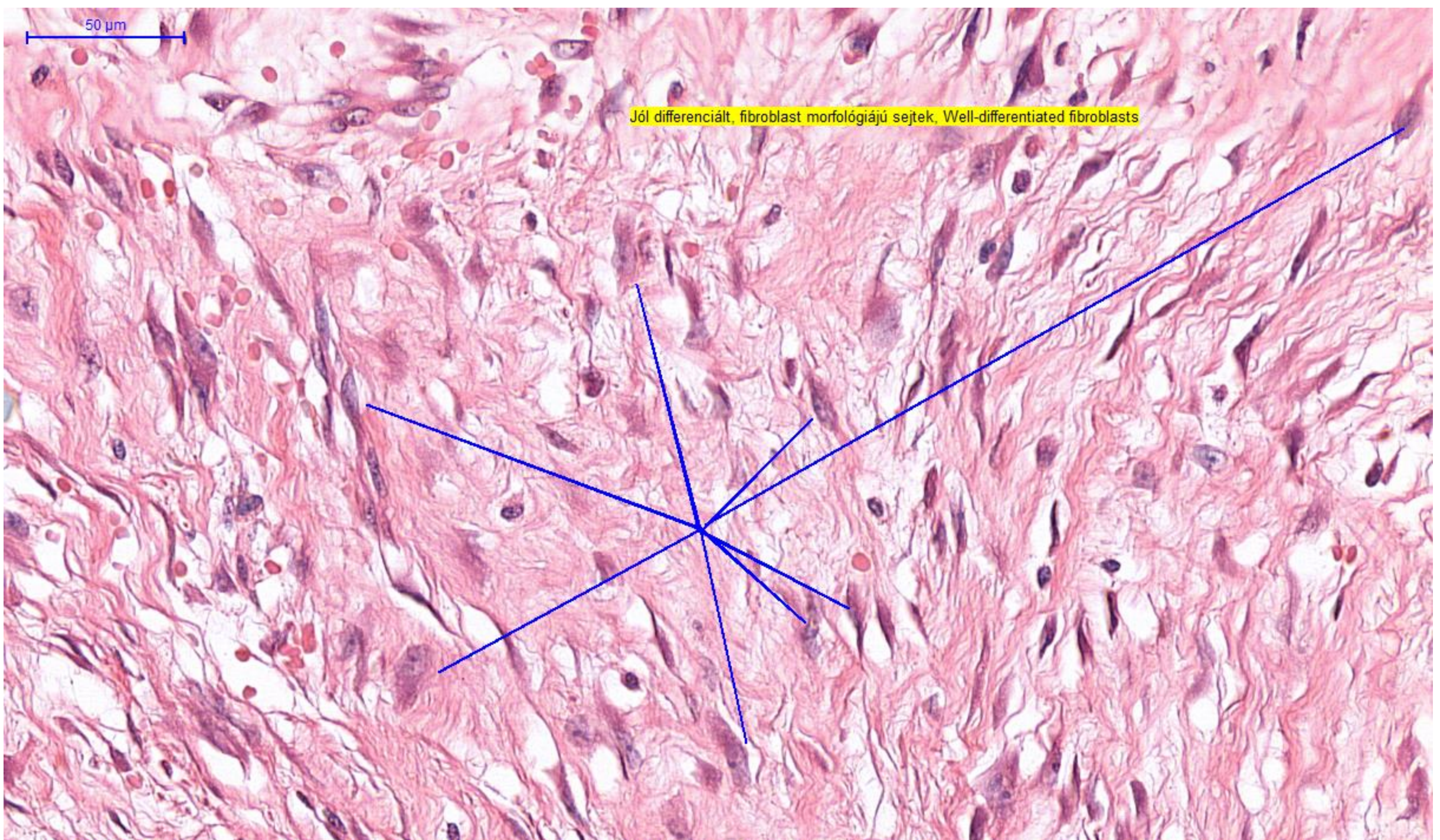


200 μ m

Extravasált vörösvértestek, Extravasated red blood cells

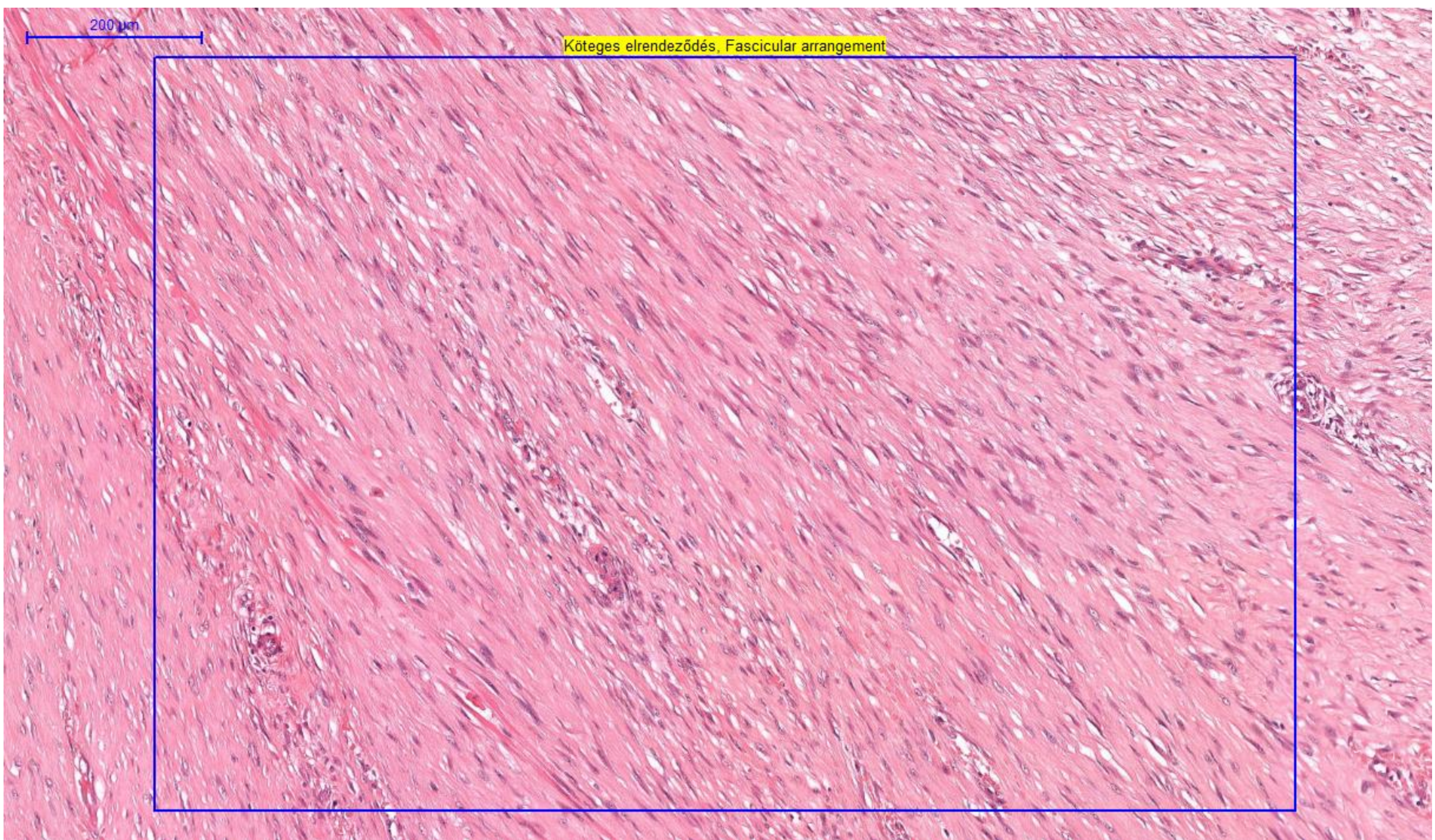


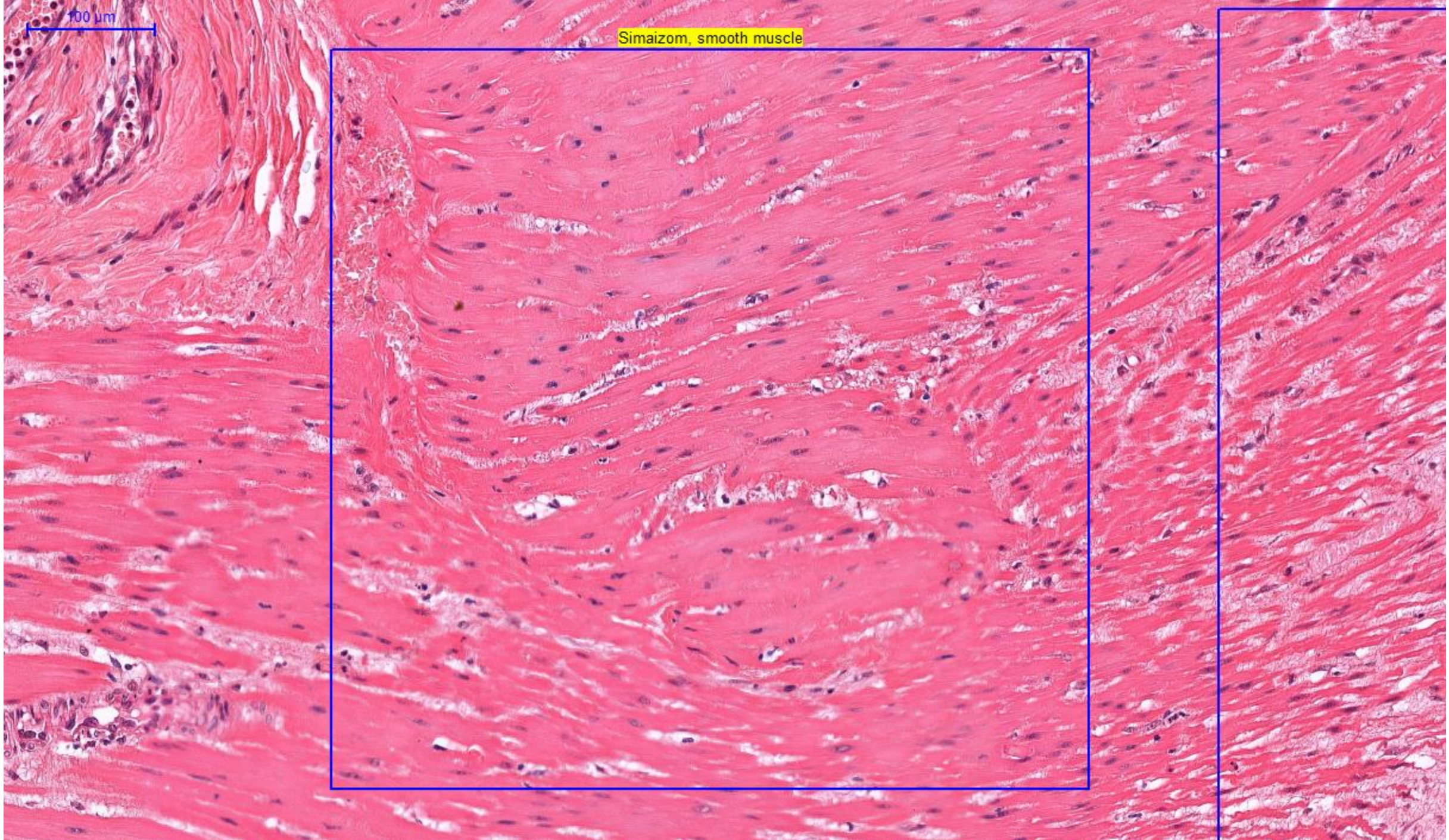




200 μ m

Köteges elrendeződés, Fascicular arrangement



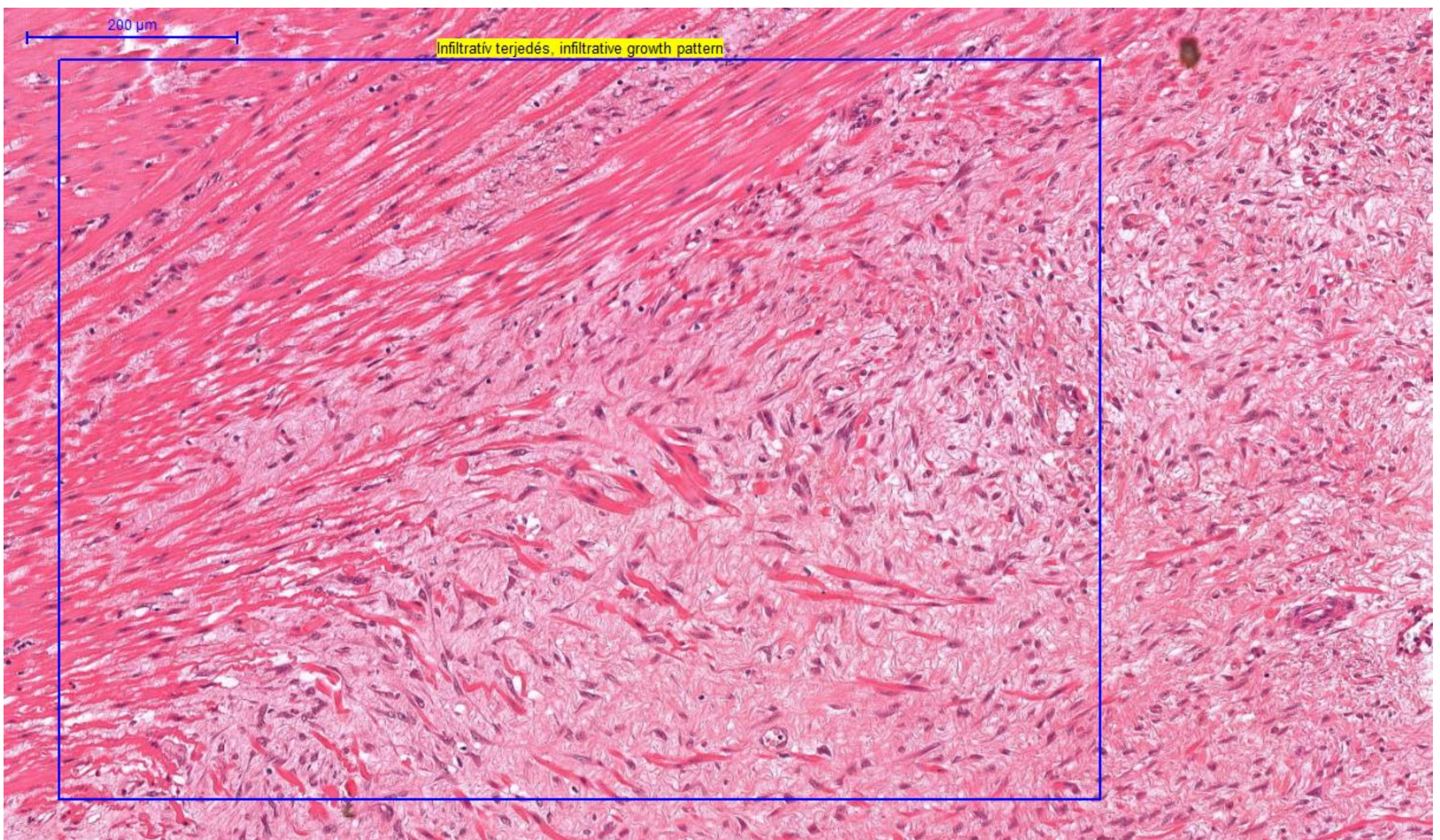


100 μm

Simaizom, smooth muscle

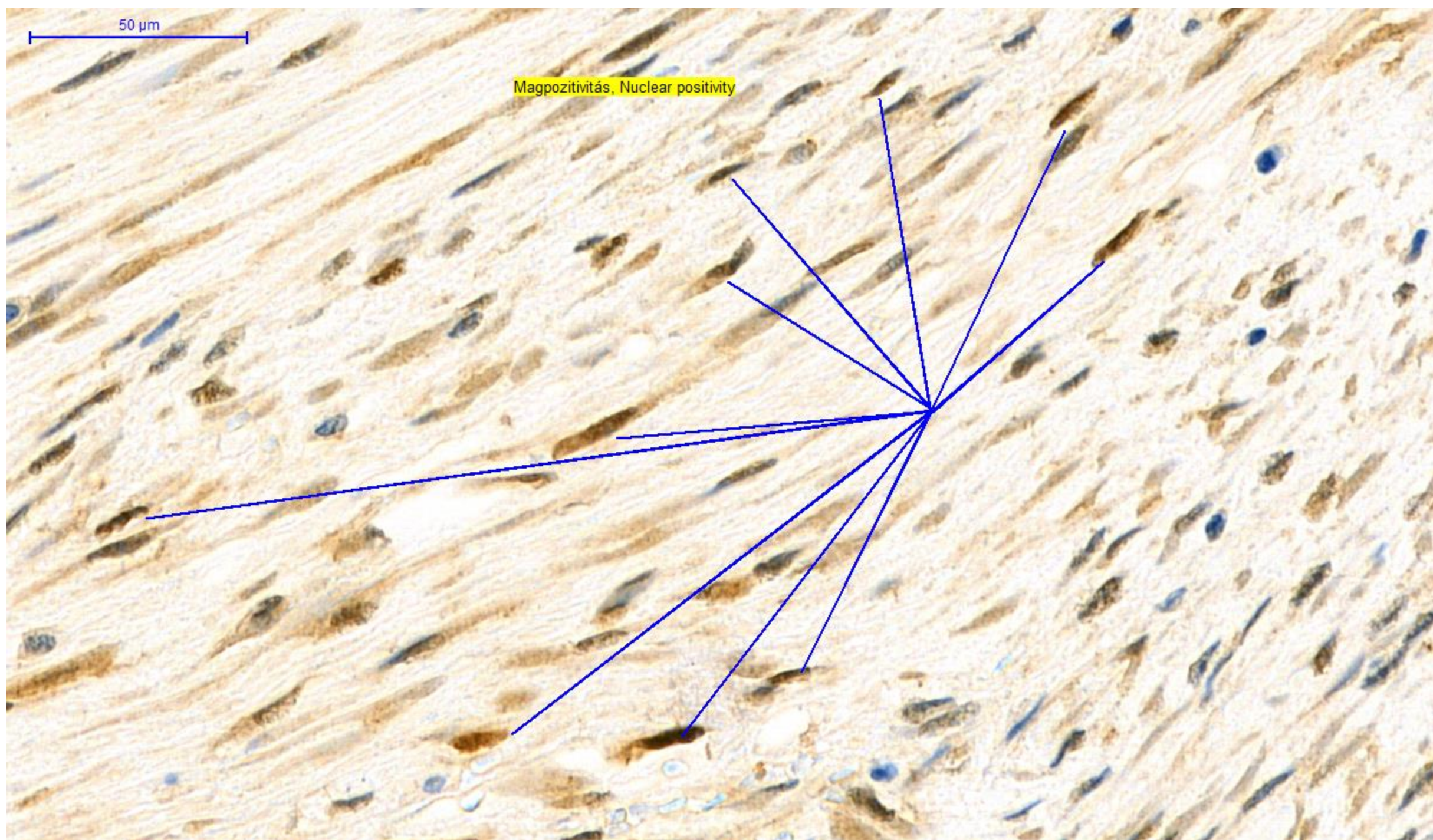
200 μ m

Infiltratív terjedés, infiltrative growth pattern

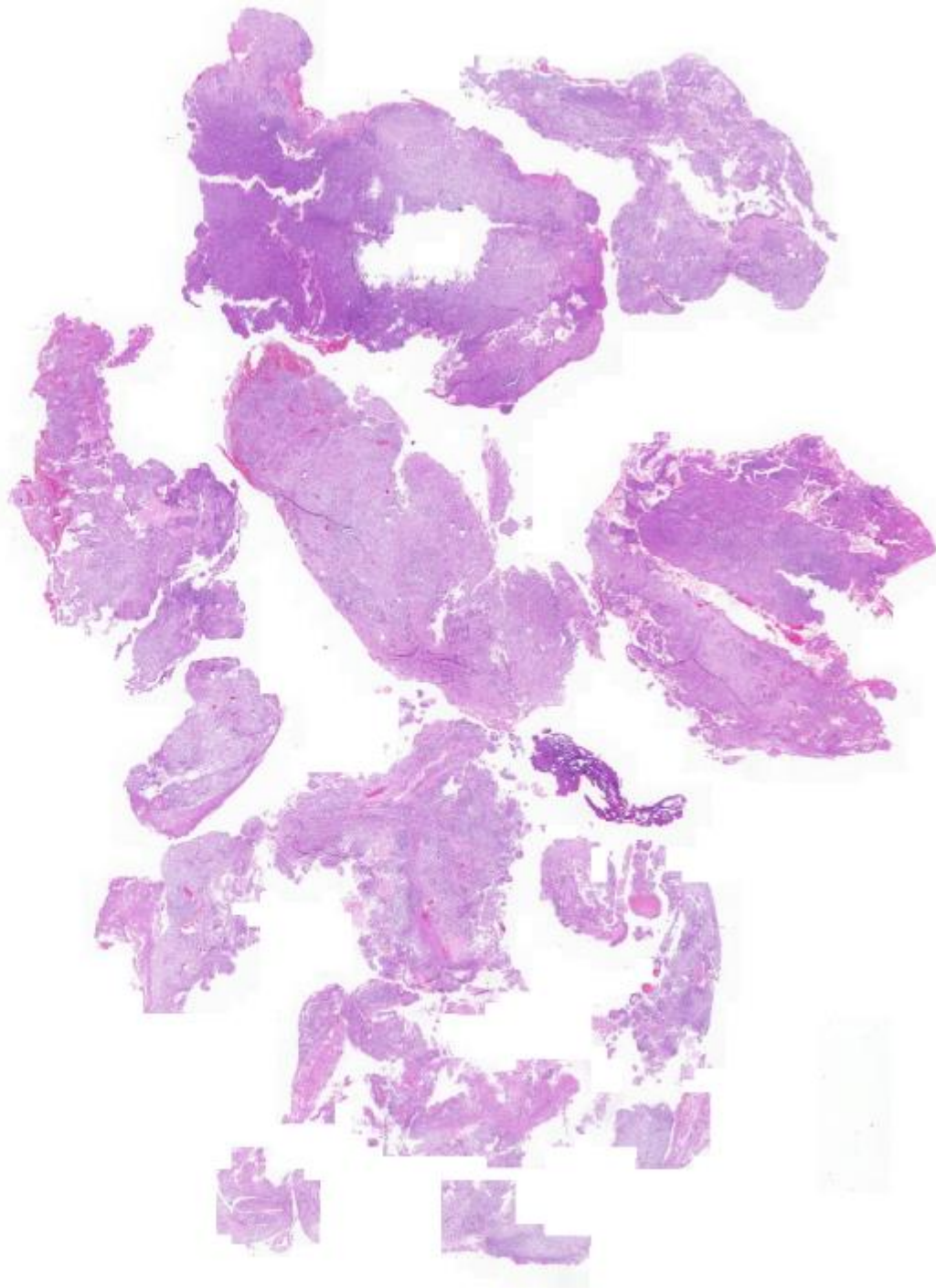


50 μ m

Magpozitivitás, Nuclear positivity



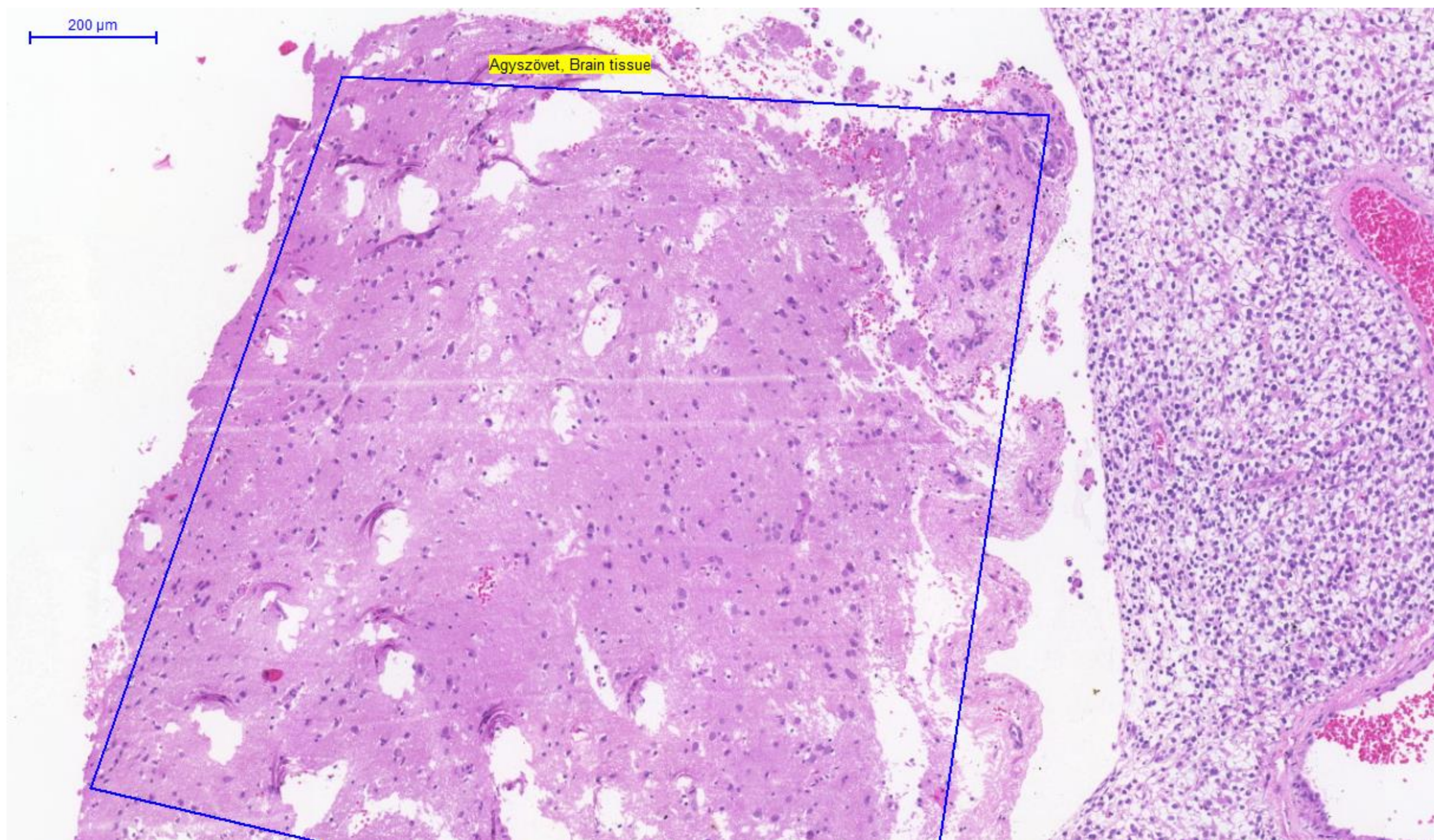
5000 μm



Rhabdomyosarcoma-Brain

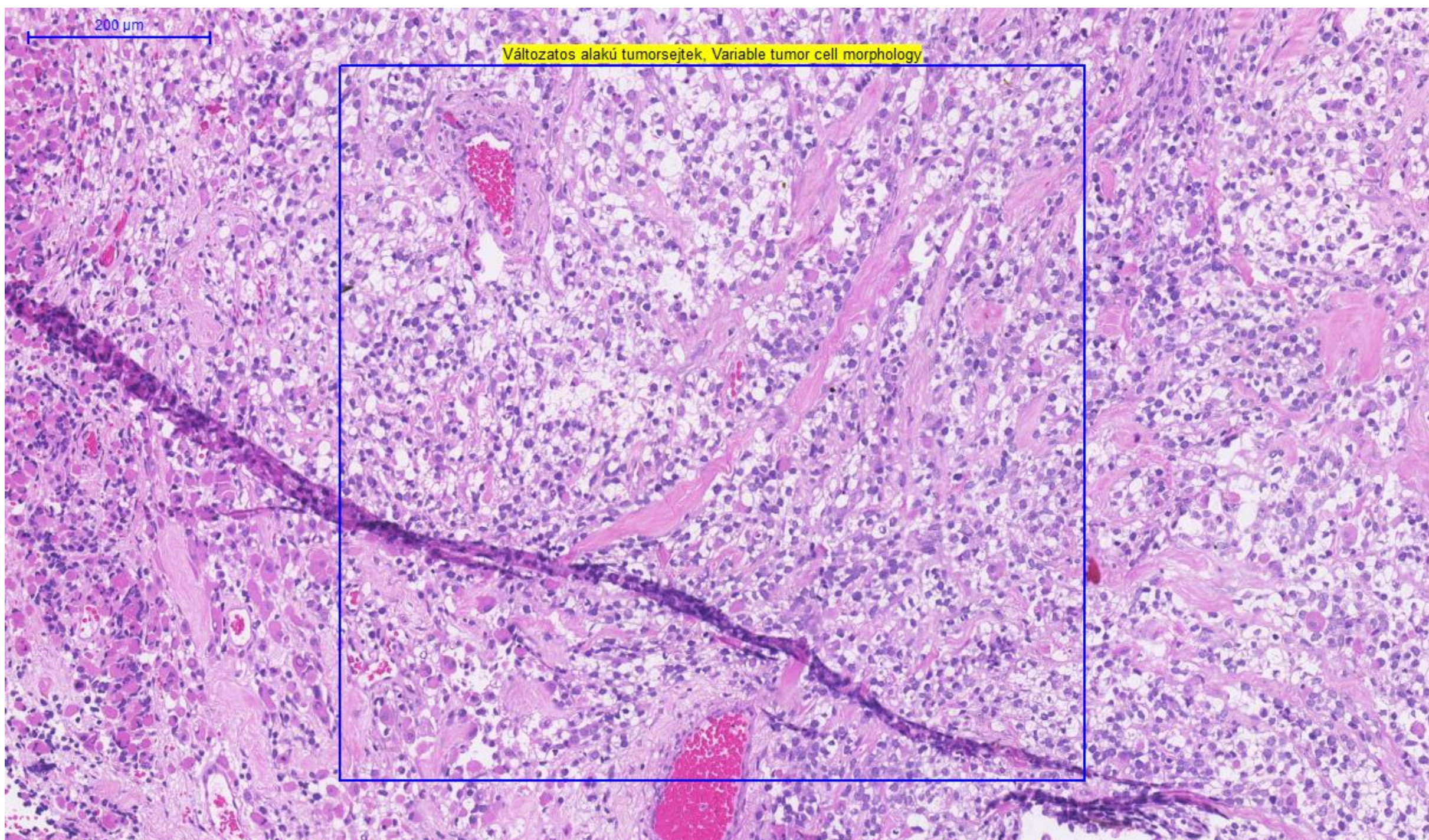
200 μ m

Agyszövet, Brain tissue



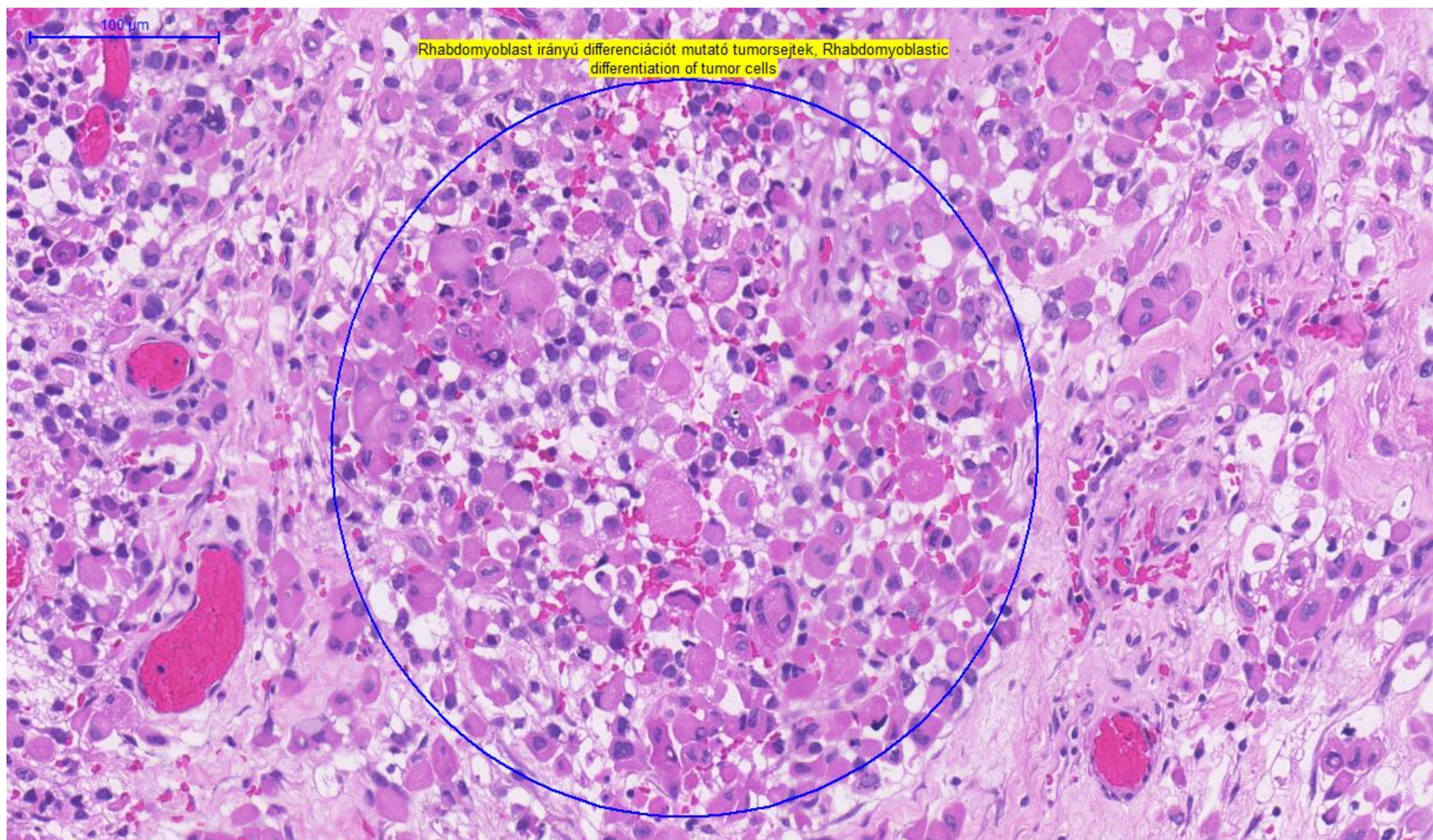
200 μ m

Változatos alakú tumorsejtek, Variable tumor cell morphology



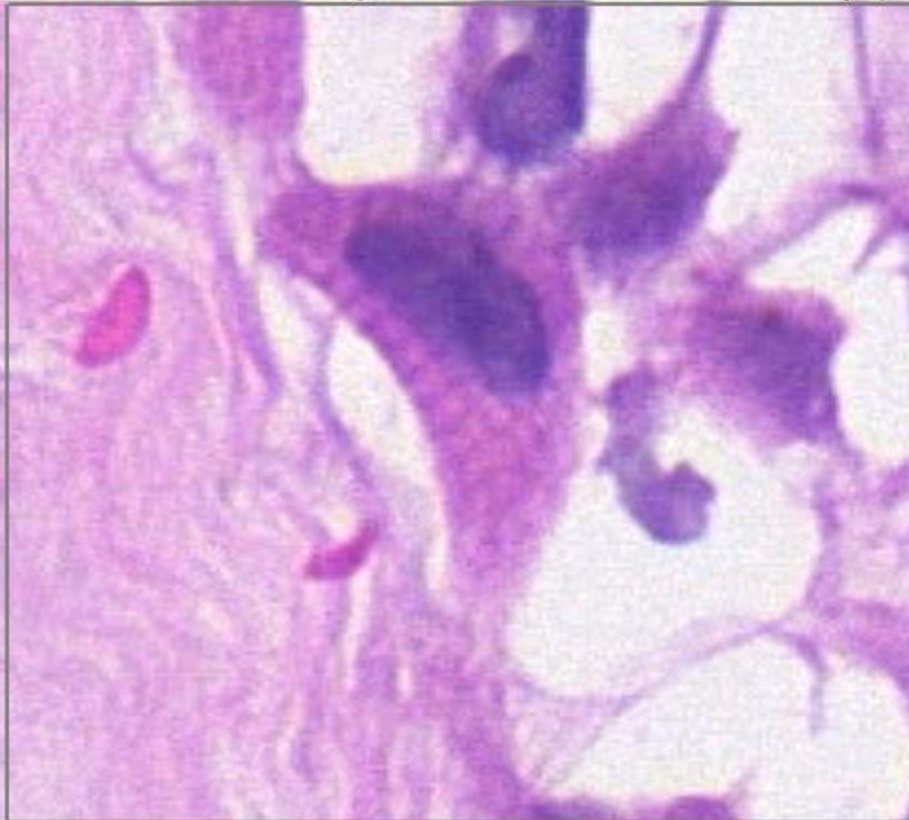
100 μ m

Rhabdomyoblast irányú differenciációt mutató tumorsejtek, Rhabdomyoblastic differentiation of tumor cells



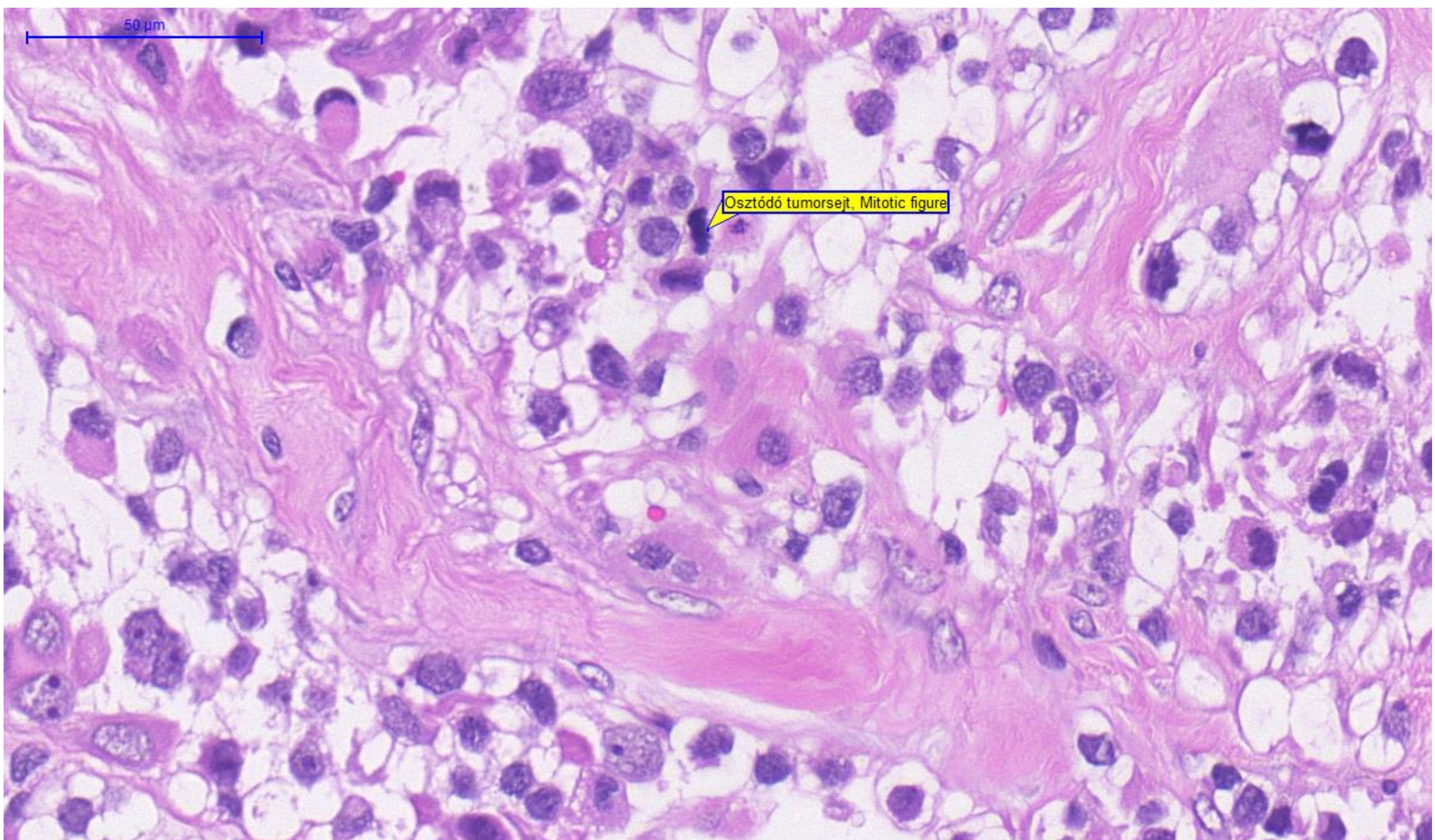
20 μ m

Haránt-csíkolatot mutató tumorsejt, Tumor-cell with cross-striations in the cytoplasm



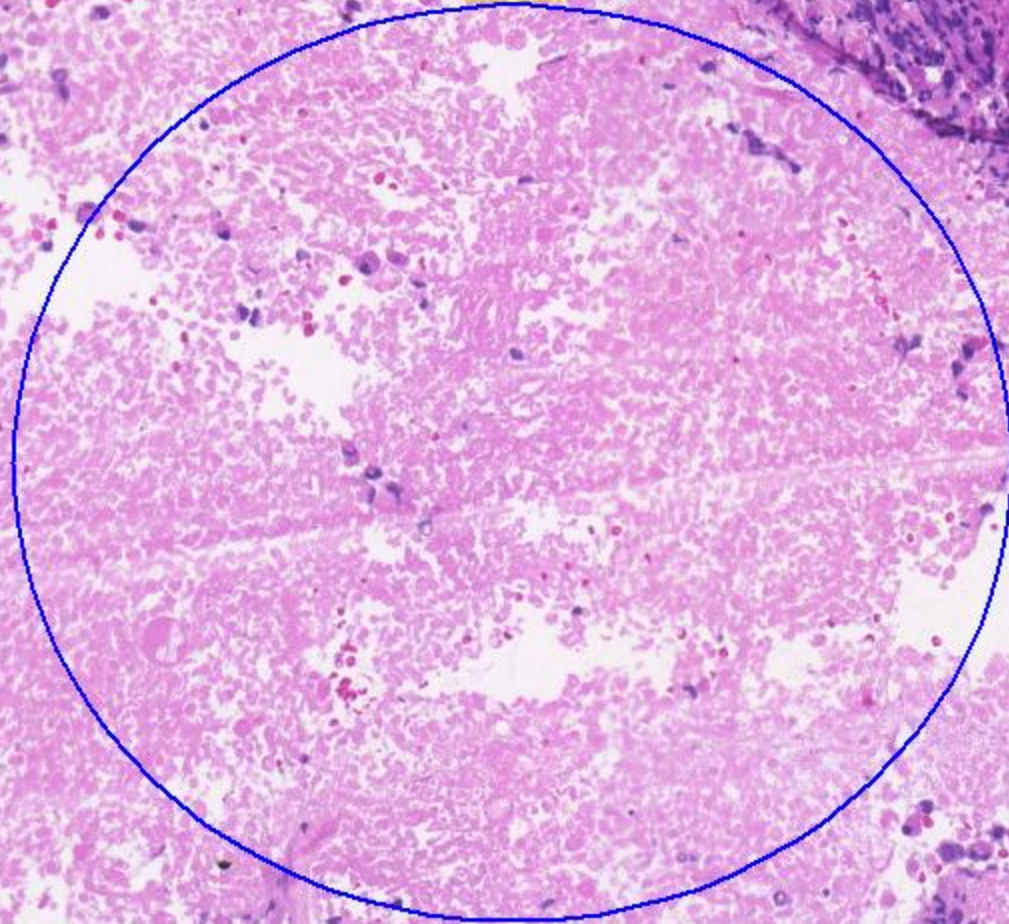
50 μ m

Osztódó tumorsejt, Mitotic figure

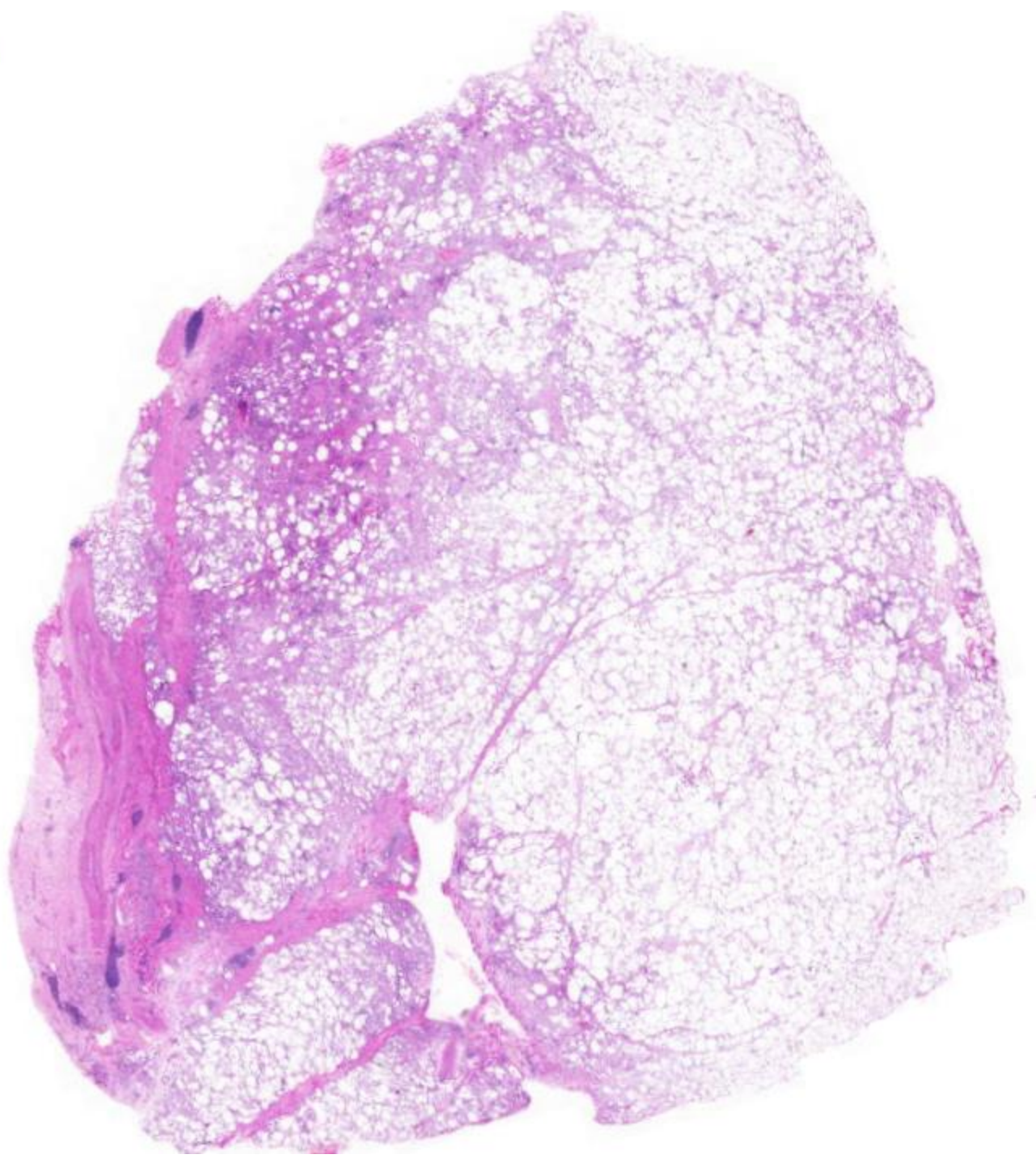


200 μ m

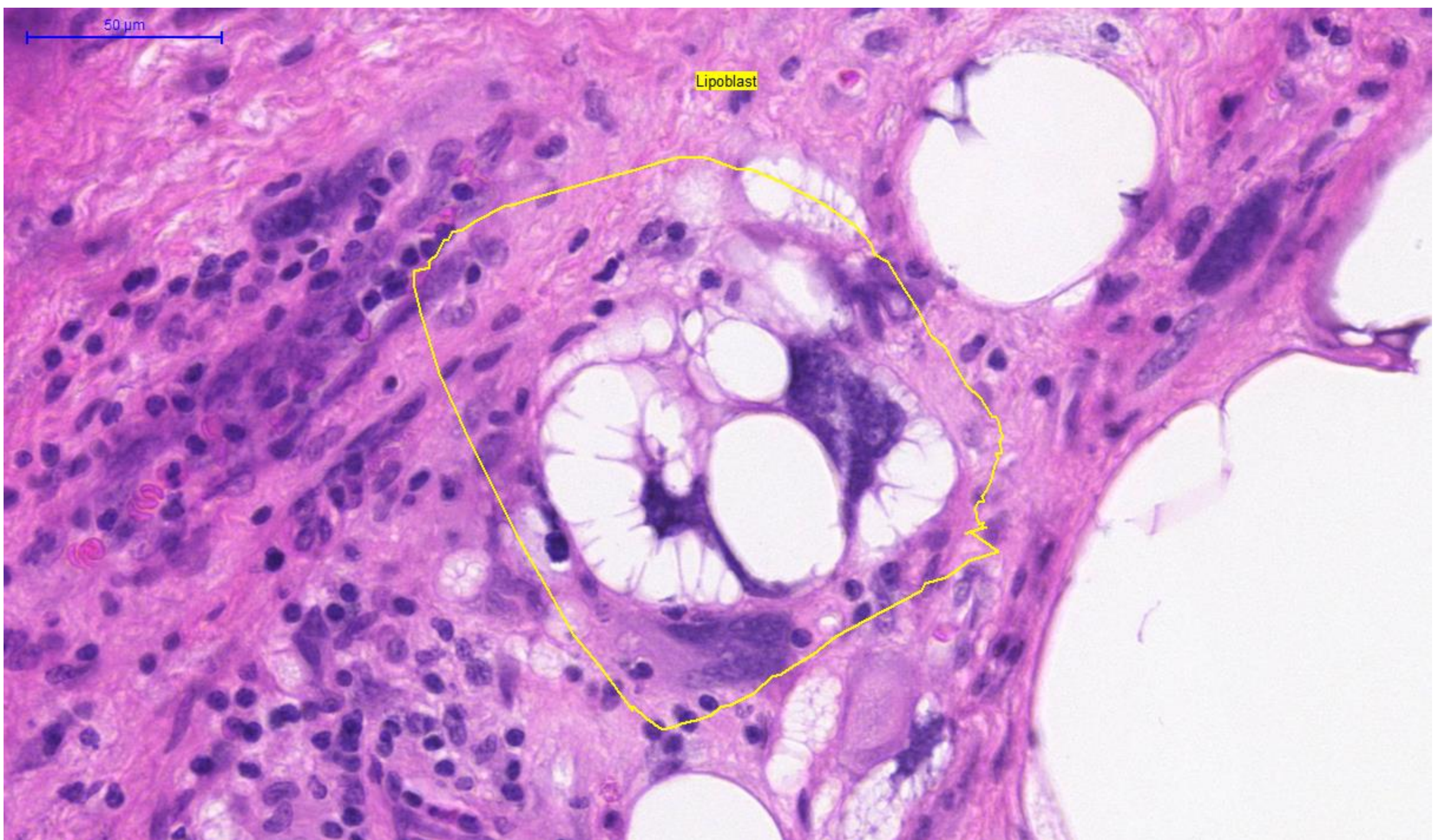
Necrosis



5000 μ m

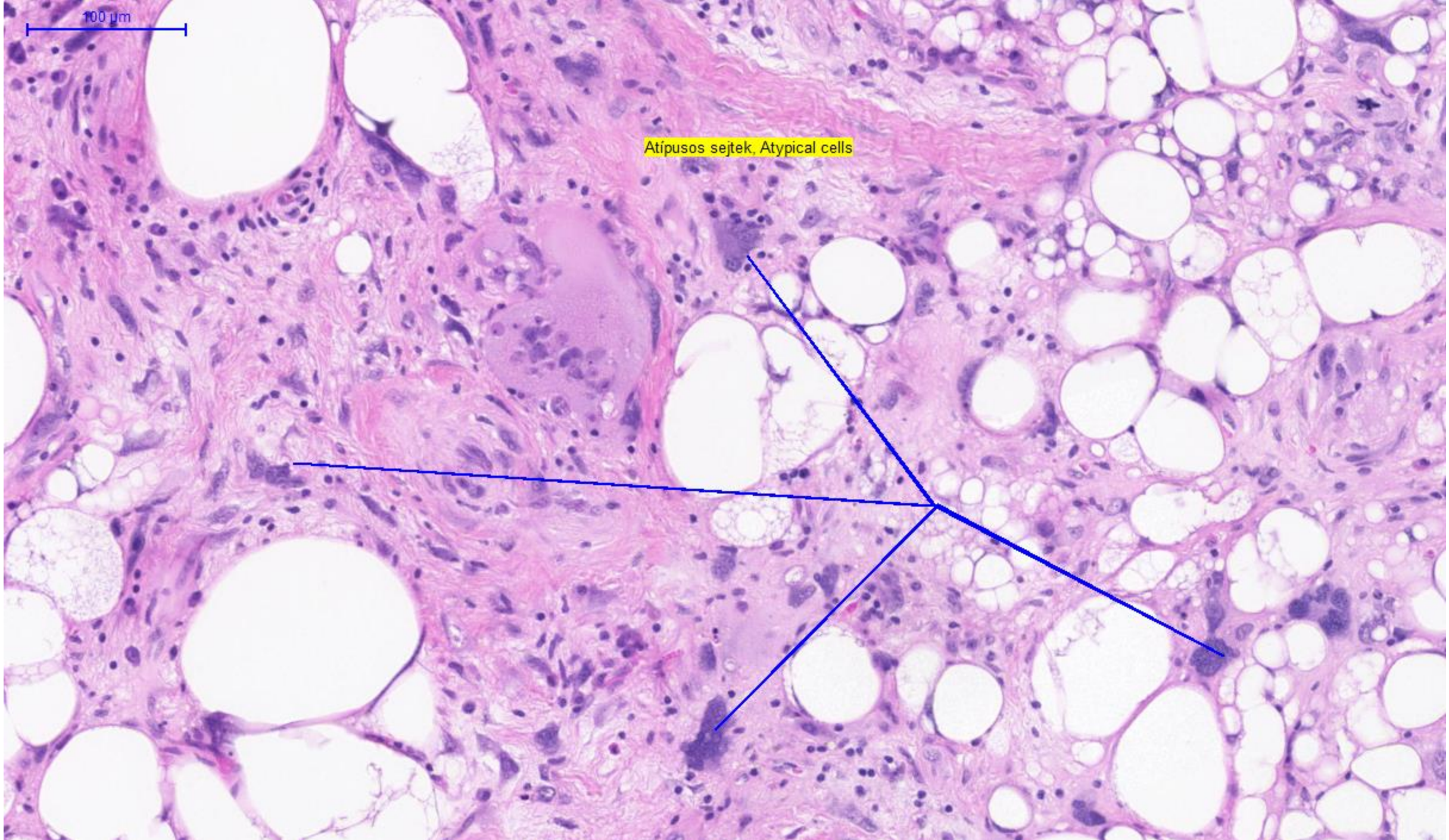


Liposarcoma-Retroperitoneum



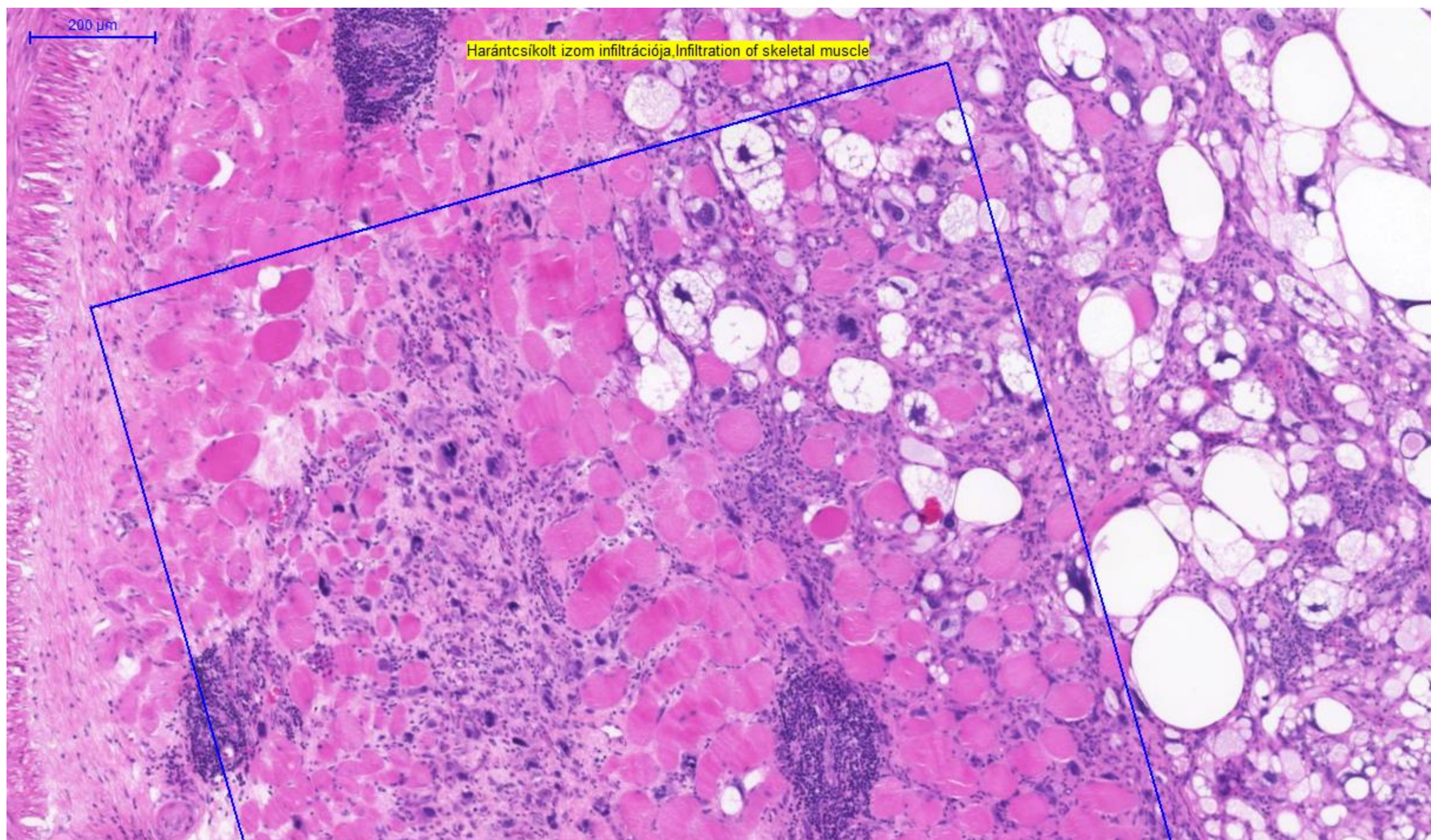
100 μ m

Atípusos sejtek, Atypical cells

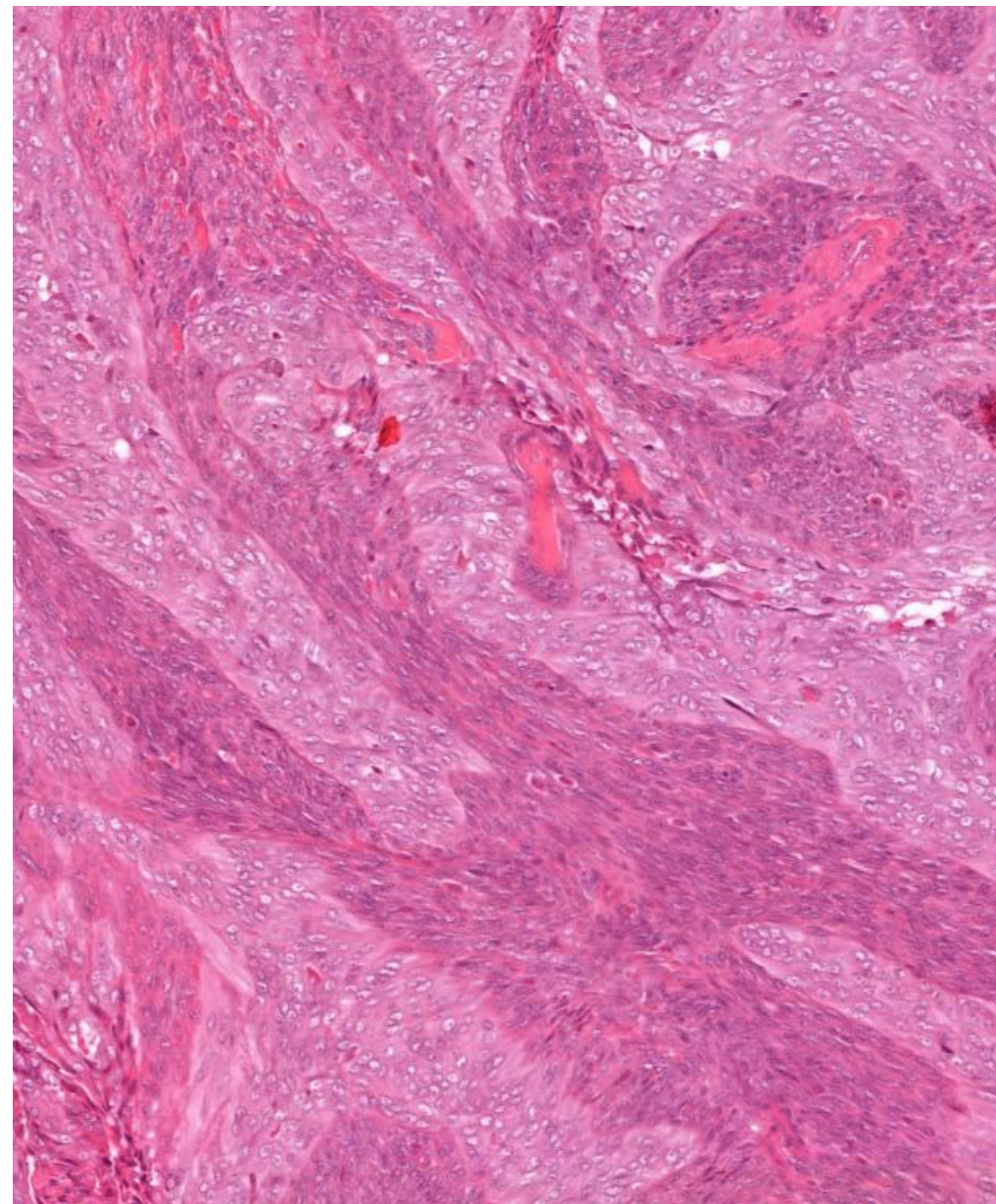


200 μ m

Harántcsikolt izom infiltrációja. Infiltration of skeletal muscle



5000 μ m

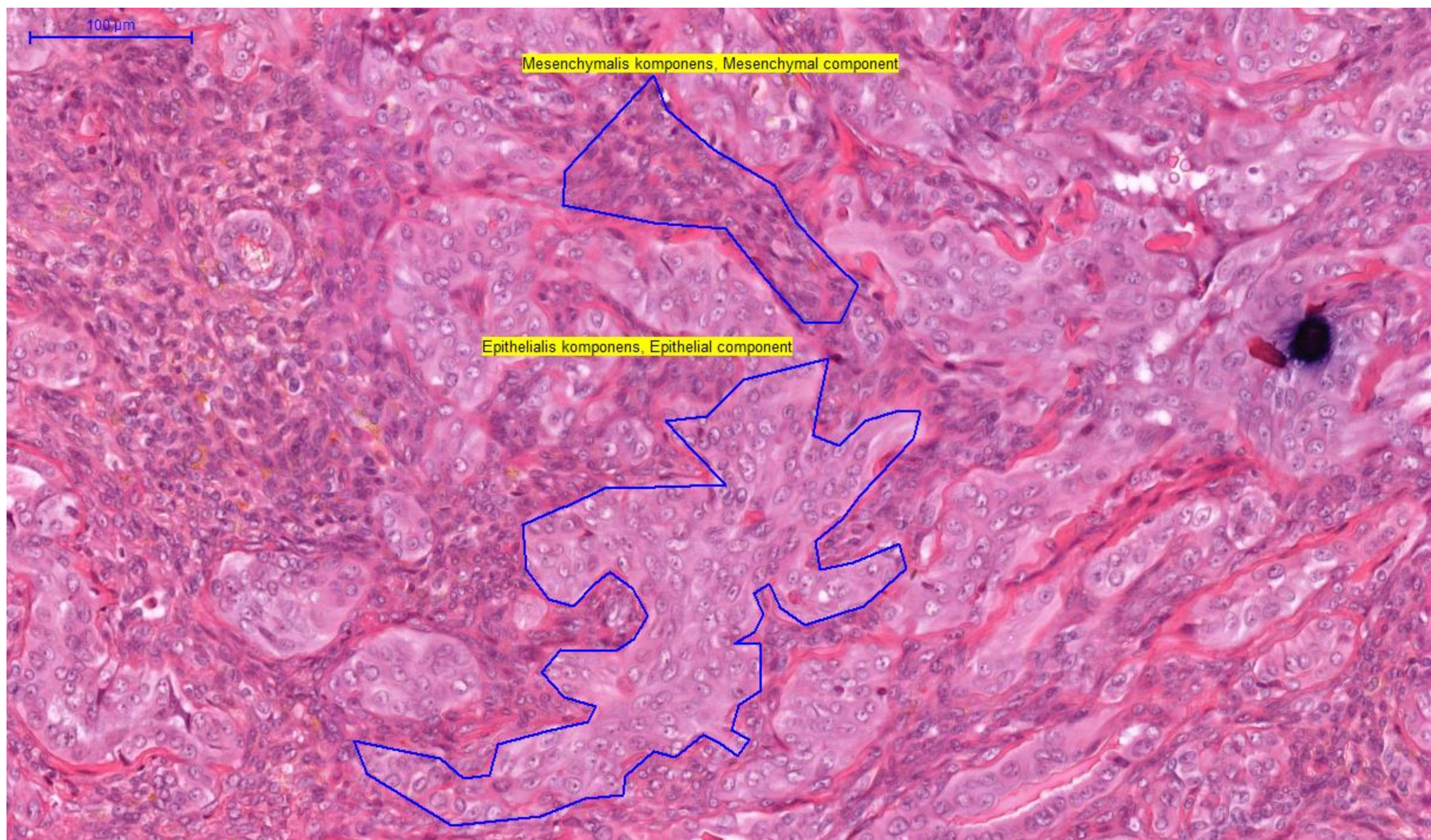


Synovial sarcoma-Subcutaneous tissue

100 µm

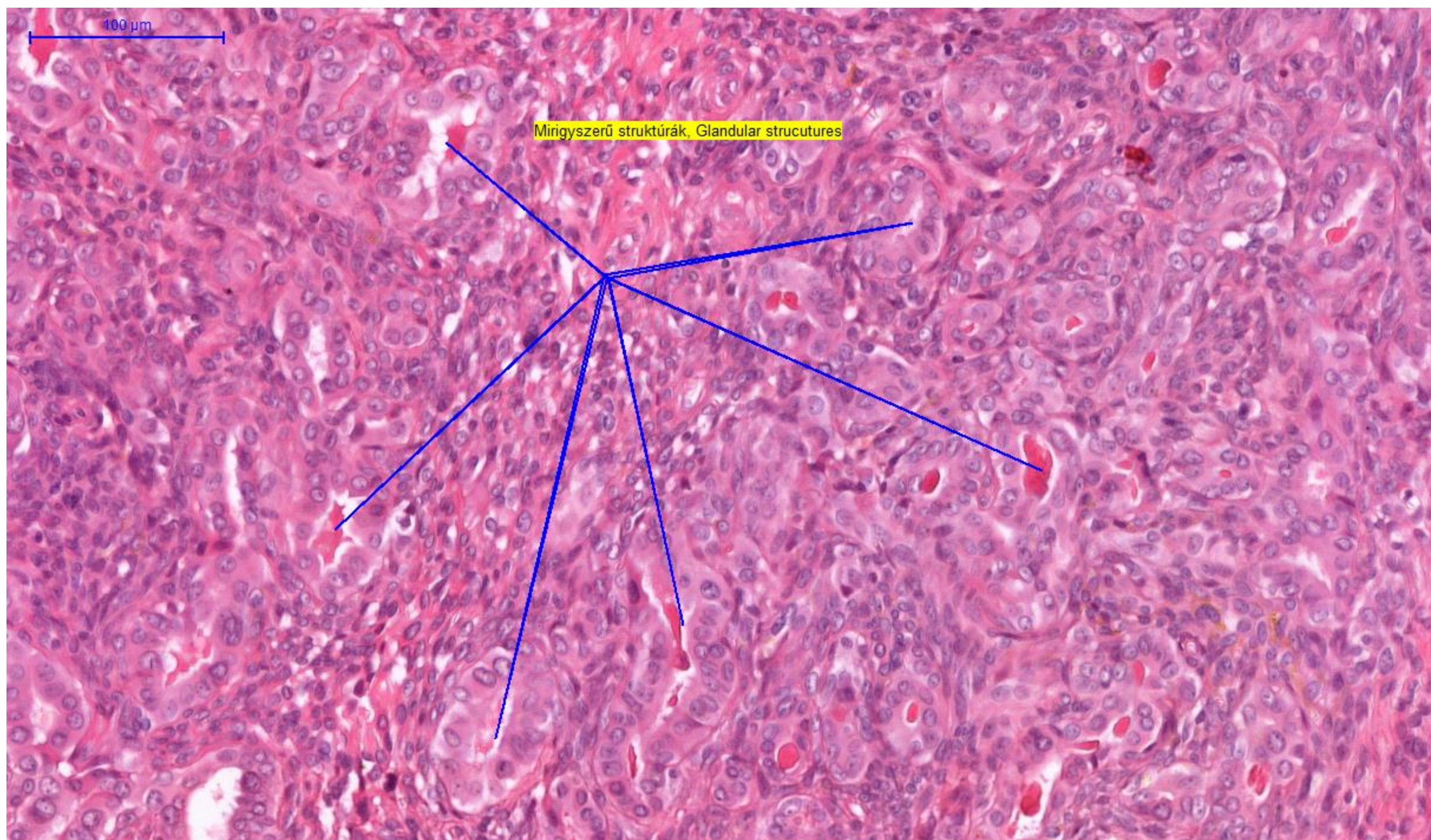
Mesenchymalis komponens, Mesenchymal component

Epithelialis komponens, Epithelial component



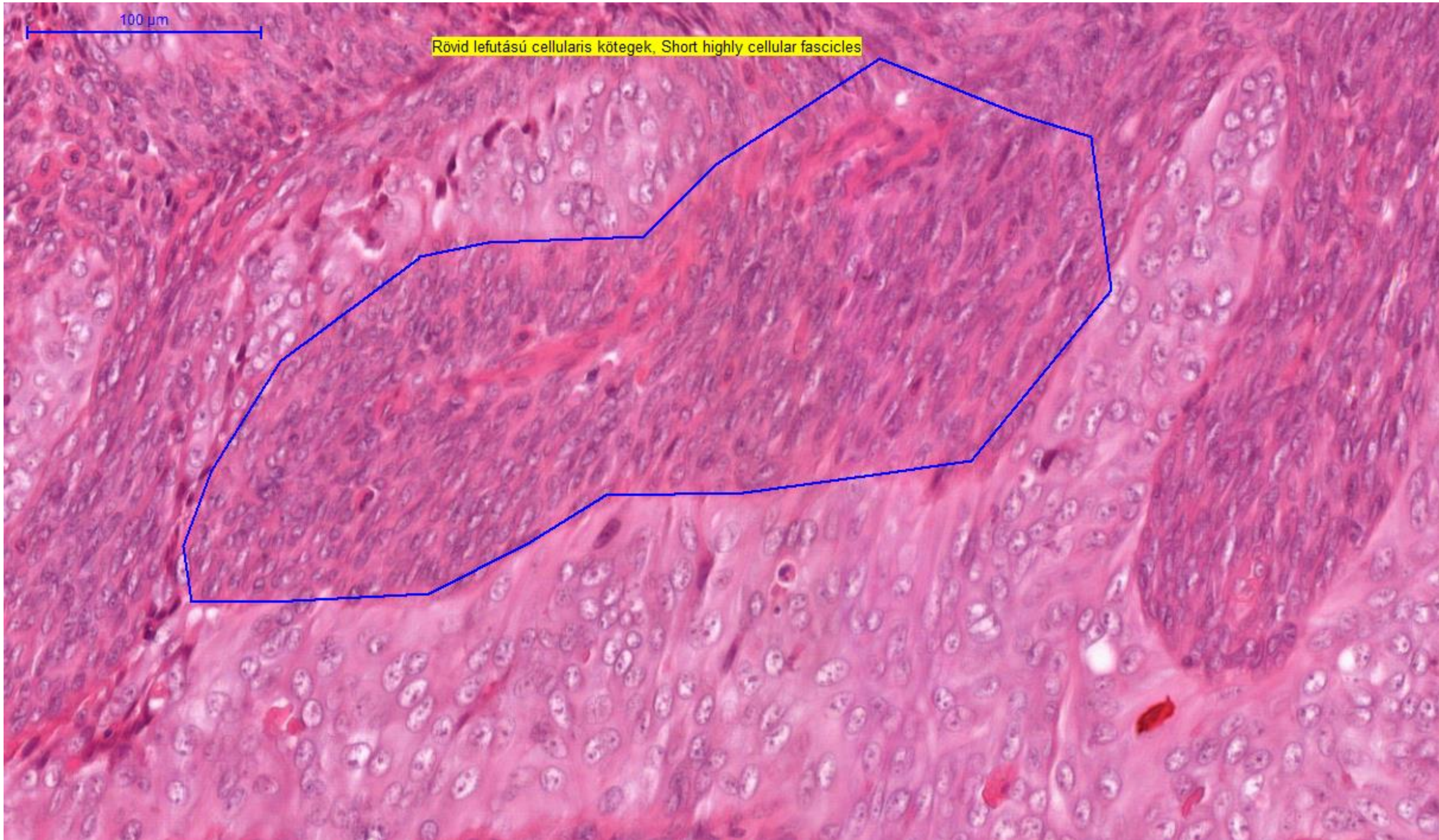
100 μ m

Mirigyszerű struktúrák, Glandular structures



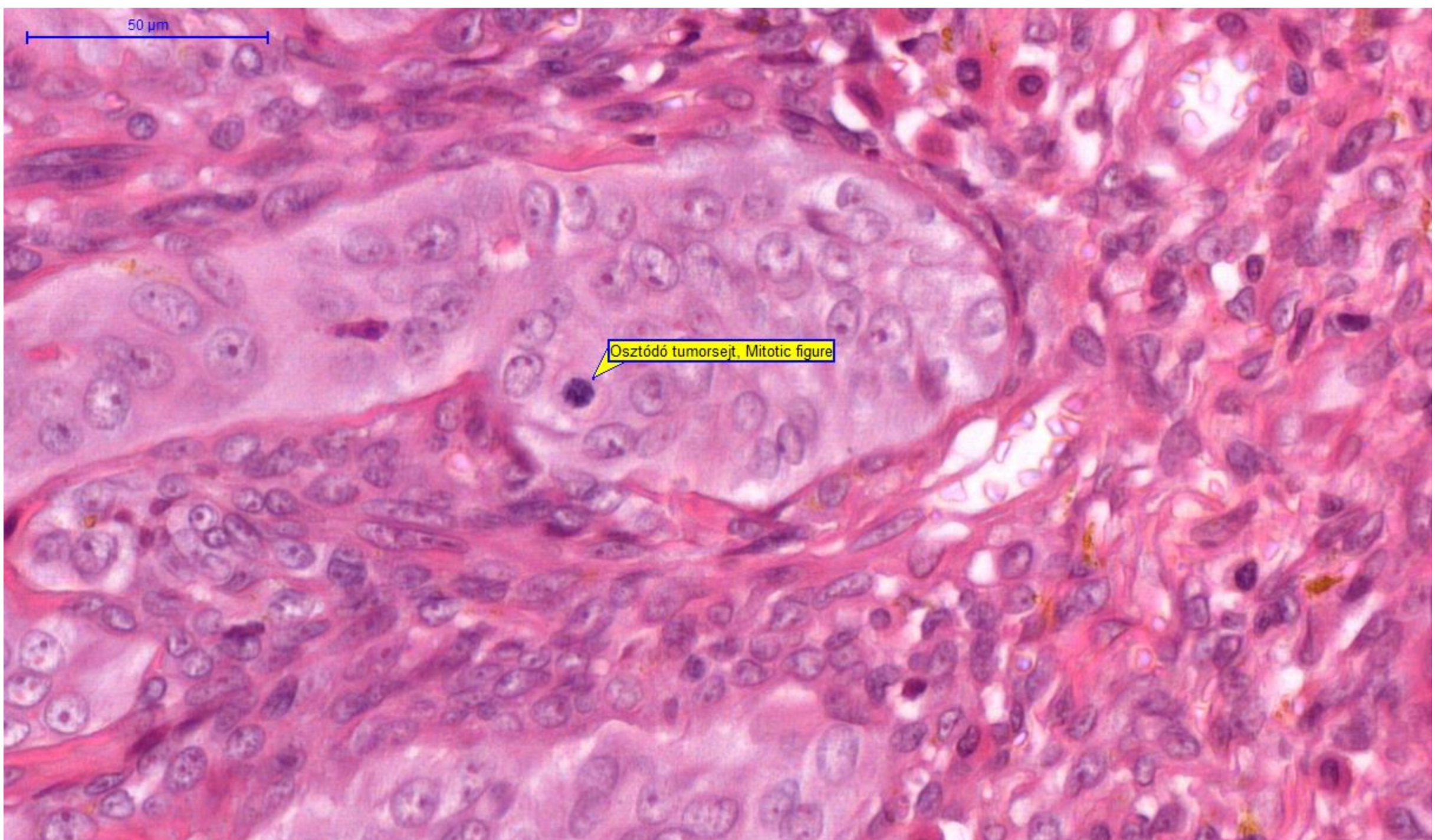
100 μ m

Rövid lefutású cellularis kötegek, Short highly cellular fascicles



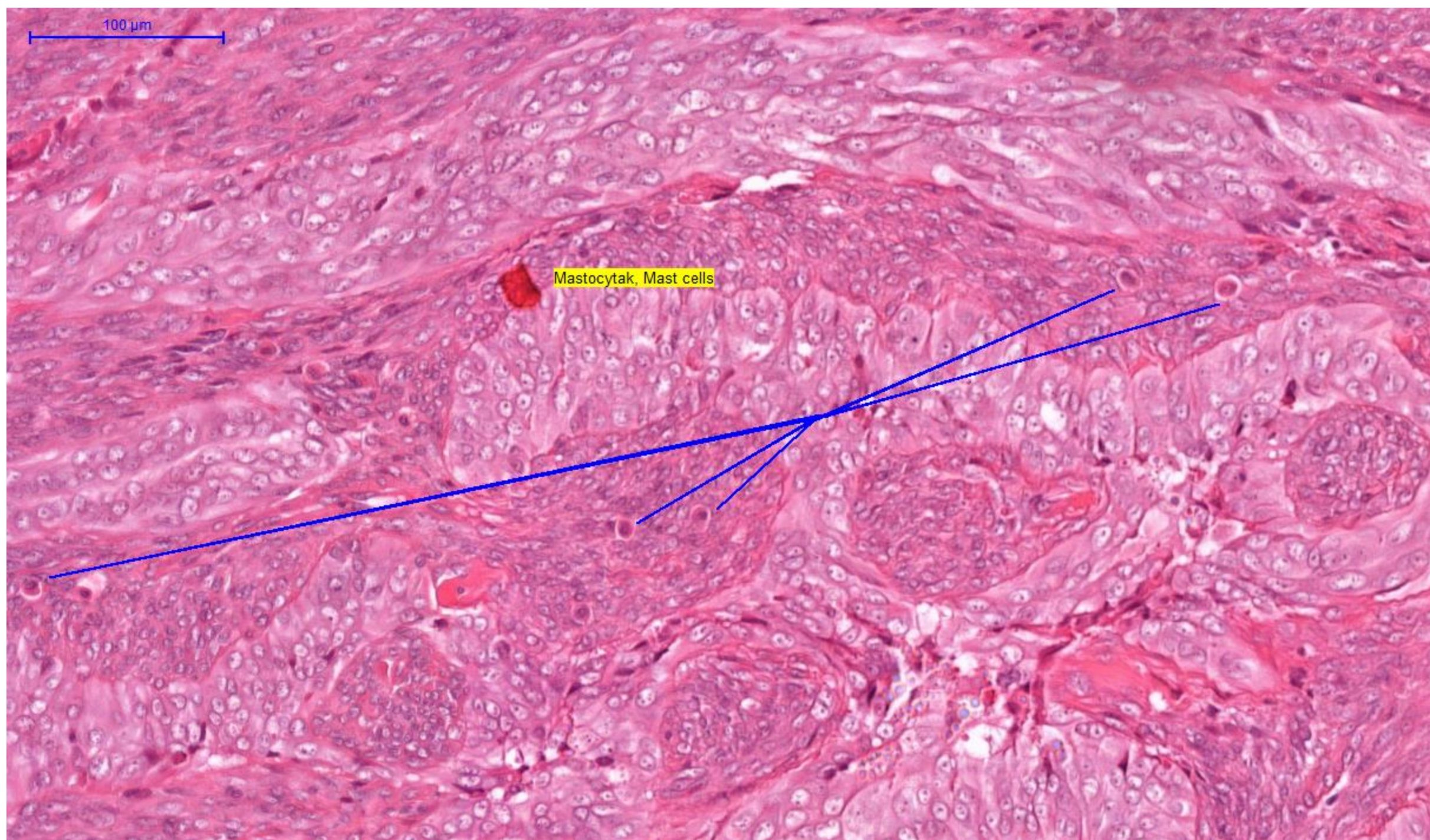
50 μ m

Osztódó tumorsejt, Mitotic figure



100 μ m

Mastocytak, Mast cells





Benign

Small bones of hands and feet

Circumscribed hyaline cartilage nodule in medulla- enchondroma
at the surface- chondroma

Age: 30–50





Benign peripheral nerve sheath tumor

Localized cutaneous neurofibromas

-solitary

-multiplex, NF1

Plexiform neurofibromas, NF1,

-risk of malignant transformation

Diffuse neurofibromas, NF1





Gritty, gray-white, and often contain areas of hemorrhage and cystic degeneration

Bimodal age distribution;

- 75% younger than 20 years of age
- 25% in older adults

Most common sites in adolescents are the *metaphyseal regions of the distal femur and proximal tibia*

